

Министерство образования и науки Российской Федерации
 Федеральное государственное автономное образовательное учреждение
 высшего образования
**«НАЦИОНАЛЬНЫЙ ИССЛЕДОВАТЕЛЬСКИЙ
 ТОМСКИЙ ПОЛИТЕХНИЧЕСКИЙ УНИВЕРСИТЕТ»**

Инженерная школа природных ресурсов (ИШПР)
 Направление подготовки (специальность) 21.04.01 «Нефтегазовое дело»
 Профиль «Надежность и долговечность газонефтепроводов и хранилищ»
 Отделение нефтегазового дела

МАГИСТЕРСКАЯ ДИССЕРТАЦИЯ

Тема работы
«Исследование эффективности применения санации как метода защиты от коррозии»

УДК 621.644:620.193

Студент

Группа	ФИО	Подпись	Дата
2БМ6А	Миллер О.Ю.		

Руководитель

Должность	ФИО	Ученая степень, звание	Подпись	Дата
доцент ОНД ИШПР	Брусник О.В.	к.п.н, доцент		

КОНСУЛЬТАНТЫ:

По разделу «Финансовый менеджмент, ресурсоэффективность и ресурсосбережение»

Должность	ФИО	Ученая степень, звание	Подпись	Дата
ассистент ОСГН ШБИП	Макашева Ю.С.	-		

По разделу «Социальная ответственность»

Должность	ФИО	Ученая степень, звание	Подпись	Дата
ассистент ООД ШБИП	Немцова О.А.	-		

Консультант-лингвист

Должность	ФИО	Ученая степень, звание	Подпись	Дата
доцент ОИЯ ИШПР	Коротченко Т.В.	к.ф.н., доцент		

ДОПУСТИТЬ К ЗАЩИТЕ:

Руководитель ООП	ФИО	Ученая степень, звание	Подпись	Дата
ОНД ИШПР	Бурков П.В.	д.т.н, профессор		

Томск – 2018г.



Министерство образования и науки Российской Федерации
Федеральное государственное автономное образовательное учреждение
высшего образования
**«НАЦИОНАЛЬНЫЙ ИССЛЕДОВАТЕЛЬСКИЙ
ТОМСКИЙ ПОЛИТЕХНИЧЕСКИЙ УНИВЕРСИТЕТ»**

Инженерная школа природных ресурсов (ИШПР)
Направление подготовки (специальность) 21.04.01 «Нефтегазовое дело»
Профиль «Надежность газонефтепроводов и хранилищ»
Отделение нефтегазового дела

УТВЕРЖДАЮ:
Руководитель ООП ОНД ИШПР

(Подпись) _____
(Дата) Бурков П.В.
(Ф.И.О.)

ЗАДАНИЕ

на выполнение выпускной квалификационной работы

В форме:

магистерской диссертации

Студенту:

Группа	ФИО
2БМ6А	Миллеру Олегу Юрьевичу

Тема работы:

«Исследование эффективности применения санации как метода защиты от коррозии»

Утверждена приказом директора (дата, номер)

Срок сдачи студентом выполненной работы:

ТЕХНИЧЕСКОЕ ЗАДАНИЕ:

Исходные данные к работе <i>(наименование объекта исследования или проектирования; производительность или нагрузка; режим работы (непрерывный, периодический, циклический и т. д.); вид сырья или материал изделия; требования к продукту, изделию или процессу; особые требования к особенностям функционирования (эксплуатации) объекта или изделия в плане безопасности эксплуатации, влияния на окружающую среду, энергозатратам; экономический анализ и т. д.).</i>	Объектом исследования диссертации является участок внутрипромыслового нефтепровода, подверженный коррозионному износу по типу ручейковой коррозии. Диаметр трубопровода: 325 мм; толщина стенки: 12 мм. Длина рассматриваемого участка: 800 м.
Перечень подлежащих исследованию, проектированию и разработке вопросов <i>(аналитический обзор по литературным источникам с целью выяснения достижений мировой науки техники в рассматриваемой области; постановка задачи исследования, проектирования, конструирования; содержание процедуры исследования, проектирования, конструирования; обсуждение результатов выполненной работы; наименование дополнительных разделов, подлежащих разработке; заключение по работе).</i>	<ol style="list-style-type: none">1. Изучение литературных источников и нормативной документации по проблеме внутренней коррозии2. Исследование причин возникновения ручейковой коррозии3. Оценка методов борьбы с внутренней коррозией нефтепроводов с учетом условий эксплуатации Ванкорского месторождения4. Расчет отбраковочной толщины стенки корродированного трубопровода5. Проведение компьютерного моделирования в среде ANSYS с целью оценки НДС корродированного трубопровода6. расчет затрат на аварийную остановку и устранение дефекта исследуемого участка внутрипромыслового трубопровода7. Рассмотрение вопросов безопасности сотрудников компании при проведении работ
Перечень графического материала <i>(с точным указанием обязательных чертежей)</i>	Технологическая схема внутрипромысловых трубопроводов Майского месторождения
Консультанты по разделам выпускной квалификационной работы <i>(с указанием разделов)</i>	
Раздел	Консультант
«Финансовый менеджмент, ресурсоэффективность и ресурсосбережение»	Макашева Ю.С., ассистент
«Социальная ответственность»	Немцова О.А., ассистент
Названия разделов, которые должны быть написаны на русском и иностранном языках:	
1. Литературный обзор	
2. Анализ информации о ручейковой коррозии и способах противокоррозионной защиты	

3. Анализ существующих технологий санации
4. Расчетно-экспериментальная часть
5. Финансовый менеджмент, ресурсоэффективность и ресурсосбережение
6. Социальная ответственность

Дата выдачи задания на выполнение выпускной квалификационной работы по линейному графику	
---	--

Задание выдал руководитель:

Должность	ФИО	Ученая степень, звание	Подпись	Дата
Доцент ОНД ИШПР	Брусник Олег Владимирович	к.п.н, доцент		

Задание принял к исполнению студент:

Группа	ФИО	Подпись	Дата
2БМ6А	Миллер О.Ю.		

**ЗАДАНИЕ ДЛЯ РАЗДЕЛА
«ФИНАНСОВЫЙ МЕНЕДЖМЕНТ, РЕСУРСОЭФФЕКТИВНОСТЬ И
РЕСУРСОСБЕРЕЖЕНИЕ»**

Студенту:

Группа	ФИО
2БМ6А	Миллеру Олегу Юрьевичу

Инженерная школа	Природных ресурсов	Отделение	Нефтегазового дела
Уровень образования	магистр	Направление/специальность	21.04.01 «Нефтегазовое дело» профиль <u>«Надежность газонефтепроводов и хранилищ»</u>

Исходные данные к разделу «Финансовый менеджмент, ресурсоэффективность и ресурсосбережение»:

<p>1. Стоимость барреля нефти, курса доллара, зависимость объема нереализуемой добычи от времени останковки трубопровода.</p>	<p><i>Затраты на технику, руб/ч:</i> Колесный вездеход – 708; Камаз с АНРВ - 1107 <i>Тарифная ставка работников (ИТР, слесари, сварщики), руб./час:</i> 601; 505; 402; 502 <i>Вахтовая надбавка:</i> 350руб. <i>Стоимость материалов, руб.:</i> Муфта (П2) — 29 500 Электрод - 100 Перчатки - 90 Диск шлифовальный - 30 Диск отрезной - 30 <i>Стоимость 1 барреля нефти:</i> 77 долл.</p>
<p>2. Стоимость ресурсов научного исследования (НИ): материально-технических, энергетических, финансовых, информационных и человеческих</p>	<p><i>Время работы техники:</i> 1й день: 11ч. 2й день: 8,5ч. <i>Время работы каждого работника:</i> 1й день: 11ч.; 2й день: 8,5ч. <i>Расход материалов, руб.:</i> Муфта (П2) — 1 Электрод - 20 Перчатки - 4 Диск шлифовальный - 8 Диск отрезной - 2</p>
<p>3. Используемая система налогообложения, ставки налогов, отчислений, дисконтирования и кредитования</p>	<p><i>Ставка налога на прибыль 20 %;</i> <i>Страховые взносы 30%;</i> <i>Налог на добавленную стоимость 18%</i></p>

Перечень вопросов, подлежащих исследованию, проектированию и разработке:

<p>1. Оценка коммерческого потенциала, перспективности и альтернатив проведения НИ с позиции ресурсоэффективности и ресурсосбережения</p>	<p><i>SWOT- анализ технологии, оценка готовности проекта к коммерциализации, технико-экономическое обоснование целесообразности внедрения новой техники или технологии выполнения работ</i></p>
<p>2. Планирование и формирование бюджета научных исследований</p>	<p><i>Линейный график выполнения работ</i></p>
<p>3. Определение ресурсной (ресурсосберегающей), финансовой, бюджетной, социальной и экономической эффективности исследования</p>	<p><i>Расчет экономической эффективности внедрения новой техники или технологии</i></p>

Перечень графического материала (с точным указанием обязательных чертежей):

Таблицы:

- Расчет ФОТ
- Расчет затрат на транспорт
- Расчет затрат на материалы
- Расчет затрат на топливо

Дата выдачи задания для раздела по линейному графику	
---	--

Задание выдал консультант:

Должность	ФИО	Ученая степень, звание	Подпись	Дата
ассистент ОСГН ШБИП	Макашева Ю.С.	-		

Задание принял к исполнению студент:

Группа	ФИО	Подпись	Дата
2БМ6А	Миллер О.Ю.		

ЗАДАНИЕ ДЛЯ РАЗДЕЛА «СОЦИАЛЬНАЯ ОТВЕТСТВЕННОСТЬ»

Студенту:

Группа	ФИО
2БМ6А	Миллеру Олегу Юрьевичу

Инженерная школа	Природных ресурсов	Отделение	Нефтегазового дела
Уровень образования	магистр	Направление/специальность	21.04.01 «Нефтегазовое дело» профиль «Надежность газонефтепроводов и хранилищ»

Исходные данные к разделу «Социальная ответственность»:

1. Характеристика объекта исследования (вещество, материал, прибор, алгоритм, методика, рабочая зона) и области его применения

Рабочее место расположено на открытом воздухе. Система нефтесборных коллекторов располагается в Западно-Сибирском федеральном округе. Местность болотистая. Климат резко-континентальный. При ремонте нефтепровода могут возникать вредные и опасные факторы для здоровья человека. Негативное воздействие на окружающую природу сводится к минимуму. В редких случаях возможно возникновение аварийных ситуаций.

Перечень вопросов, подлежащих исследованию, проектированию и разработке:

Анализ выявленных вредных факторов проектируемой производственной среды в следующей последовательности:

- физико-химическая природа вредности, её связь с разрабатываемой темой;
- действие фактора на организм человека;
- приведение допустимых норм с необходимой размерностью (со ссылкой на соответствующий нормативно-технический документ);
- предлагаемые средства защиты (сначала коллективной защиты, затем – индивидуальные защитные средства)

1. Недостаточная освещенность рабочей зоны;
2. Превышение уровня шума;
3. Высокий уровень вибрации;
4. Повышенная загазованность воздуха рабочей зоны.
5. Отрицательные температуры.

Анализ выявленных опасных факторов проектируемой производственной среды в следующей последовательности

- механические опасности (источники, средства защиты);
- термические опасности (источники, средства защиты);
- электробезопасность (в т.ч. статическое электричество, молниезащита – источники, средства защиты);
- пожаровзрывобезопасность (причины, профилактические мероприятия, первичные средства пожаротушения)

1. Движущиеся машины и механизмы производственного оборудования;
2. Поражение электрическим током;
3. Опасность возникновения пожара.

Охрана окружающей среды:

- защита селитебной зоны
- анализ воздействия объекта на атмосферу

*Разгерметизация нефтепровода сопровождается:
-загрязнением атмосферного воздуха*

<p>(выбросы);</p> <ul style="list-style-type: none"> - анализ воздействия объекта на гидросферу (сбросы); - анализ воздействия объекта на литосферу (отходы); - разработать решения по обеспечению экологической безопасности со ссылками на НТД по охране окружающей среды. 	<p>(устраняется путем утилизации розлитого агента);</p> <ul style="list-style-type: none"> - загрязнением поверхностных водных источников и подземных вод (предотвращается методом установки боновых заграждений на водоемах); -повреждением почвенно-растительного покрова (последствия разлива устраняются рекультивацией плодородного слоя.
<p><i>Защита в чрезвычайных ситуациях:</i></p> <ul style="list-style-type: none"> - перечень возможных ЧС на объекте; - выбор наиболее типичной ЧС; - разработка превентивных мер по предупреждению ЧС; - разработка мер по повышению устойчивости объекта к данной ЧС; - разработка действий в результате возникшей ЧС и мер по ликвидации её последствий 	<p>Чрезвычайные ситуации на нефтепроводе могут возникать в результате аварийных ситуаций и при их устранении. Для избегания возникновения ЧС (воздействия) необходимо соблюдать правила техники безопасности, руководствоваться нормативными документами.</p>
<p><i>Правовые и организационные вопросы обеспечения безопасности:</i></p> <ul style="list-style-type: none"> - специальные (характерные для проектируемой рабочей зоны) правовые нормы трудового законодательства; - организационные мероприятия при компоновке рабочей зоны 	<p>В области охраны труда и безопасности жизнедеятельности трудовую деятельность регламентируют правовые, нормативные акты, инструктивные акты в области охраны труда и отраслевые документы.</p>

Дата выдачи задания для раздела по линейному графику	
---	--

Задание выдал консультант:

Должность	ФИО	Ученая степень, звание	Подпись	Дата
Ассистент ООД ШБИП	Немцова О.А.	-		

Задание принял к исполнению студент:

Группа	ФИО	Подпись	Дата
2БМ6А	Миллер О.Ю.		

Министерство образования и науки Российской Федерации
 Федеральное государственное автономное образовательное учреждение
 высшего образования
**«НАЦИОНАЛЬНЫЙ ИССЛЕДОВАТЕЛЬСКИЙ
 ТОМСКИЙ ПОЛИТЕХНИЧЕСКИЙ УНИВЕРСИТЕТ»**

Инженерная школа природных ресурсов (ИШПР)
 Направление подготовки (специальность) 21.04.01 «Нефтегазовое дело»
 Профиль «Надежность газонефтепроводов и хранилищ»
 Уровень образования магистр
 Отделение нефтегазового дела
 Период выполнения _____ (осенний / весенний семестр 2017/2018 учебного года)

Форма представления работы:

магистерская диссертация

КАЛЕНДАРНЫЙ РЕЙТИНГ-ПЛАН
выполнения выпускной квалификационной работы

Срок сдачи студентом выполненной работы:

Дата контроля	Название раздела (модуля) / вид работы (исследования)	Максимальный балл раздела (модуля)
15.12.2016	<i>Литературный обзор</i>	10
20.03.2017	<i>Анализ информации о ручейковой коррозии и способах противокоррозионной защиты</i>	20
23.04.2017	<i>Исследование причин коррозионных повреждений на рассматриваемом объекте, оценка гипотез в соответствии с литературой</i>	20
01.10.2018	<i>Анализ технологий санации. Обобщение результатов исследования покрытия на коррозионную стойкость</i>	20
20.12.2018	<i>Проведение компьютерного моделирования НДС</i>	10
20.04.2018	<i>Финансовый менеджмент. Социальная ответственность</i>	10
11.05.2018	<i>Результаты работы</i>	5
12.05.2018	<i>Презентация</i>	5

Составил преподаватель:

Должность	ФИО	Ученая степень, звание	Подпись	Дата
доцент ОНД ИШПР	Брусник О.В.	к.п.н, доцент		

СОГЛАСОВАНО:

Руководитель ООП	ФИО	Ученая степень, звание	Подпись	Дата
ОНД ИШПР	Бурков П.В.	д.т.н, профессор		

Определения, обозначения, сокращения, нормативные ссылки

В работе были использованы следующие определения:

Нефтепровод- сооружение из труб, соединительных деталей и арматуры для передачи на расстояние нефти.

Нефтеборный коллектор- трубопровод для транспорта продукции нефтяных скважин от замерных установок до пунктов первой ступени сепарации нефти.

Давление рабочее- наибольшее избыточное давление, при котором обеспечивается заданный режим эксплуатации нефтепровода.

Перекачка- процесс перемещения нефти (нефтепродуктов) по трубопроводу.

Эксплуатация нефтепровода- использование магистрального нефтепровода (нефтепродуктопровода) по назначению, определенному проектной документацией.

Отказ- потеря способности выполнять требуемые функции.

Запорная арматура- арматура, предназначенная для перекрытия потока рабочей среды с определенной герметичность.

Коррозия металлов- разрушение металлов вследствие химического или электрохимического взаимодействия их с коррозионной средой.

Безотказность- способность выполнять требуемые функции в заданном интервале времени при данных условиях.

Эффективность- способность удовлетворять требованиям к услуге с заданными количественными характеристиками.

					Оценка эффективности применения санации как метода защиты от коррозии		
		ФИО					
Разработал	Миллер				Обозначения и сокращения	Лист	Листов
Руковод.	Брусник О.В.					1	
						Отделение нефтегазового дела	
И. о. зав.каф.	Бурков П.В.					Группа 2БМ6А	

Оглавление

Введение.....	7
1. Анализ информации о ручейковой коррозии и способах противокоррозионной защиты	16
1. 1 Проблема ручейковой коррозии	16
1.2 Способы борьбы с внутренней коррозией трубопроводов.....	17
1.2.1 Технологические методы.....	17
1.2.2 Применение ингибиторов.....	18
1.2.3 Защита от коррозии с помощью нанесения внутренних защитных покрытий .	19
1.2.4 Использование магнитных устройств	21
1.2.5 использование многослойных неметаллических и армированных труб.....	21
1.2.6 Профилактический поворот корродированного трубопровода	23
1.2.7 Основные выводы	25
2. АНАЛИЗ СУЩЕСТВУЮЩИХ технологий САНАЦИИ	26
2.1 Основные виды и технологические решения санации трубопроводов	26
2.2 Методы восстановления трубопроводных систем.....	27
Цементно-песчаное покрытие (ЦПП)	27
Быстроотверждаемое покрытие Scotchcot на основе двухкомпонентного полимера Сорон Нусот.....	32
Сплошное покрытие. Метод «Чулка»	33
Протаскивание нового трубопровода в поврежденный старый (с его разрушением и без разрушения)	36
Точечные (местные) покрытия	38
2.3 Сравнительные показатели методов бестраншейного восстановления	40

					Оценка эффективности санации как метода защиты от коррозии			
		Ф						Л
Разработал	Миллер О.Ю.				Оглавление			
Руковод.	Брусник О.В.							
И. о. Зав.каф.	Бурков П.В.							
						Отделение нефтегазового дела Группа 2БМ6А		

Введение

В настоящее время транспортировка углеводородов, как правило, осуществляется с использованием трубопроводного транспорта. Большинство трубопроводов нефтегазовой отрасли выполнено стальными трубами, что обусловлено их высокой прочностью. Однако, имеется существенный недостаток стальных трубопроводов: высокая подверженность коррозионному износу.

По данным статистики на текущий момент коррозия трубопроводов является основной причиной отказов. По различным данным [1] от 40 до 50 процентов аварий приходится на коррозионный износ. Стоит отметить, что негативному влиянию коррозии наиболее подвержены промышленные трубопроводы вследствие высокой агрессивности перекачиваемой среды и сравнительно небольшой толщины стенки.

В связи с этим, одной из важнейших задач по повышению эксплуатационной надежности трубопроводов является поиск и подбор наиболее эффективных методов борьбы с коррозией. На текущий момент наиболее часто применяются следующие: нанесение внешней изоляции, электрохимическая защита, ингибирование.

Несмотря на большие затраты на борьбу с коррозией дефекты продолжают развиваться, что требует дополнительных затрат на аварийно-восстановительные работы. В случае, когда коррозионный износ достигает критических значений, возникает необходимость замены целого участка.

					Оценка эффективности применения санации как метода защиты от коррозии		
		ФИО					
Разработал	Миллер О.Ю.				Введение	Лист	Листов
Руковод.	Брусник О.В.					7	
						Отделение нефтегазового дела Группа 2БМ6А	
И.о. зав.каф.	Бурков П.В.						

1 Литературный обзор

Промысловые трубопроводы – инженерные сооружения, которые рассчитаны на длительный срок эксплуатации и предназначены для транспортировки нефти, нефтепродуктов, природного газа, воды и их смесей от места добычи до установок комплексной подготовки, и далее до места врезки в магистральный трубопровод или на другой вид транспорта [6].

Существует ряд нормативных документов, регламентирующих правила эксплуатации и сооружения промысловых нефтепроводов [2-5].

Согласно [2] промысловые трубопроводы разделяют на четыре категории в зависимости от их назначения, диаметра, рабочего давления, коррозионной активности перекачиваемой среды и газового фактора.

Важным вопросом нефтегазовой промышленности является надежная безаварийная эксплуатация объектов отрасли, так как они относятся к объектам повышенной опасности согласно [18]. В связи с чем на сегодняшний день существует множество работ, рассматривающих вопросы повышения надежности трубопроводов: В.Л. Березина, П.П. Бородавкина, Г.Г. Васильева, В.Б. Галеева, В.Х. Галюка, А.Г. Гумерова, К.А. Забелы, В.И. Зоненко, О.М. Иванцова и др.

Однако, несмотря на наличие большого числа исследований в этой области, по-прежнему существует ряд проблем, связанных с работой трубопроводного транспорта.

Актуальной задачей на сегодняшний день является исследование причин отказов промысловых трубопроводов вследствие коррозионных повреждений.

					Оценка эффективности применения санации как метода защиты от коррозии		
		ФИО				Лист	Листов
Разработал	Миллер О.Ю.					7	
Руковод.	Брусник О.В.						
И.о. зав.каф.	Бурков П.В.				Литературный обзор Отделение нефтегазового дела Группа 2БМ6А		

1. АНАЛИЗ ИНФОРМАЦИИ О РУЧЕЙКОВОЙ КОРРОЗИИ И СПОСОБАХ ПРОТИВОКОРРОЗИОННОЙ ЗАЩИТЫ

1.1 Проблема ручейковой коррозии

Надежность трубопроводов определяет их эффективность и экологическую безопасность. Надежность [48] – свойство изделия или оборудования выполнять свои функции в заданных пределах в течение определенного времени, не изменяя свои рабочие характеристики.

Одной из наиболее часто встречающихся проблем отказов является ручейковая коррозия. Согласно литературным источникам [13,9,7] внутренняя коррозия составляет 91% из числа дефектов трубопроводов, при этом 70% принадлежит ручейковой коррозии, так же ее называют часто «канавочный износ» [11].

Несмотря на большое количество исследований в этой области, проблема канавочного износа трубопроводов по-прежнему является актуальной.

На сегодняшний день данный тип коррозии хорошо известен нефтяникам из-за способности за небольшой отрезок времени проникать в основной металл по нижней образующей трубопроводов и приводить к их выходу из строя вследствие повышенной скорости коррозии.

Существуют различные способы по борьбе с ручейковой коррозией. К ним можно отнести: применение ингибиторов коррозии, технологические методы борьбы с коррозией, нанесение защитных полимерных покрытий, использование магнитных устройств, улавливающих частицы абразива, использование пластмассовых и металлопластовых труб.

По природе происхождения ручейковая коррозия является многофакторным процессом, т.е. на скорость ее протекания влияют наличие механических примесей приводящих к механическому износу стенки трубы и электрохимическая коррозия, определяемая свойствами перекачиваемой жидкости.

					Оценка эффективности применения санации как метода защиты от коррозии		
		ФИО					
Разработал	Миллер О.Ю.				Анализ информации о ручейковой коррозии и способах противокоррозионной защиты		Л
Руковод.	Брусник О.В.						
И.о. зав.каф.	Бурков П.В.						
					Отделение нефтегазового дела Группа 2БМ6А		

К числу технологических методов борьбы с внутренней коррозией трубопроводов могут быть отнесены мероприятия по снижению обводненности перекачиваемого продукта. Так, компанией ОАО «Сургутнефтегаз» в 2003 были проведены работы по снижению аварийности за счет строительства УПСВ. на текущий момент на промыслах компании в работе находится 74 УПСВ, 65 из которых имеют в своем составе трехфазные сепараторы. Это позволяет обеспечивать работу нефтепроводов в режиме транспорта нефти, при котором обводненность составляет порядка 2,5 -3%, что исключает проявление ручейковой коррозии. Стоит отметить, что данный метод борьбы с коррозией зачастую неприменим ввиду высокой стоимости его реализации. В частности, условия эксплуатации Ванкорского месторождения, рассматриваемого в работе, делают метод нерентабельным.

1.2.2 Применение ингибиторов

Наибольшее распространение получил метод ингибирования. При этом эффективность применения ингибиторов составляет около 85%, а объемы производства отечественных ингибиторов не отвечают потребностям отрасли.

Главная причина коррозии – это наличие в транспортируемой жидкости солей и газов. Растворенные в перекачиваемой среде соли и газы являются электролитом, который является причиной коррозии внутренней поверхности нефтепроводов.

Коррозия может быть замедлена или приостановлена путем добавления в перекачиваемую жидкость химических веществ, которые разделяют на нейтрализаторы и ингибиторы коррозии. Наибольшее распространение получили ингибиторы, нейтрализаторы почти не применяются. Для использования ингибиторов необходимо наличие сведений о виде коррозии и условиях ее протекания.

Суть защитного механизма ингибиторов заключается в том, что на поверхности металла образуется защитная пленка, которая разделяет агрессивную среду и поверхность трубопровода. На данный момент разработано огромное количество химических соединений, которые используются в целях ингибирования.

						Анализ информации о ручейковой коррозии и способах противокоррозионной защиты	
							18

нефтегазовой промышленности занимается ВНИИТнефти (г. Самара). Институтом разработаны коррозионностойкие гибкие трубы, которые предназначены для транспорта водонефтяных смесей, нефти и других высокоагрессивных жидкостей.

Гибкие трубы имеют сложную конструкцию, в состав которой входят высокопрочные металлические элементы, воспринимающие механические нагрузки, и полимерные элементы, защищающие металлические части от контакта с транспортируемой и внешней средой. Конструкция концевых соединений обеспечивает ремонтпригодность труб. Соединяются трубы при помощи фланцевых соединений, а также другими способами. Наибольший внутренний диаметр 300 мм, толщина стенки – 31 мм, рабочее давление 6,3 МПа. По данным [27] трубы успешно применяются на объектах компаний ООО «Башнефть» и ООО «Татнефть» (на текущий момент входят в состав ПАО «НК Роснефть»). На месторождениях компании трубы успешно применяются в условиях перекачки высокоагрессивных сред.

Проблемой труб данного типа является их высокая стоимость, а также недостаточный опыт их эксплуатации. Кроме того, промышленность на текущий момент выпускает недостаточное их количество, чтобы обеспечить потребности нефтегазовых компаний.

1.2.6 Профилактический поворот корродированного трубопровода

Одним из традиционных способов повышения долговечности трубопроводов, подверженных ручейковой коррозии является технологический поворот [21]. Данный метод позволяет продлить срок эксплуатации трубопровода за счет обеспечения более равномерного износа внутренней поверхности труб.

Суть метода заключается в том, что поврежденный участок трубопровода поворачивается относительно продольной оси на некоторый угол, что приводит к перемещению канавки в зону, не подверженную активному разрушению.

рекомендован многими авторами в качестве эффективного средства борьбы с коррозией, стоит отметить, что несмотря на свои достоинства метод не решает проблемы коррозионного износа, а и лишь помогает продлить срок эксплуатации трубопровода путем временного снижения коррозионного воздействия.

1.2.7 Основные выводы

На основании анализа литературных источников посвященных решению проблемы внутренней коррозии трубопроводов были сделаны выводы по перспективности применения методов. На текущий момент можно утверждать, что в условиях рассматриваемого объекта наиболее действенным будет метод нанесения защитных покрытий на внутреннюю поверхность трубопровода. Данный метод был признан эффективным по следующим причинам:

- создание защитного слоя предотвращающего протекание коррозии;
- повышение срока эксплуатации полученной двухслойной конструкции до 50 лет [39];
- снижение капитальных затрат на ремонт;
- снижение объемов земляных работ;
- ремонт труднодоступных участков;

Следующим этапом работы является подбор наиболее эффективных методов нанесения защитных покрытий для дальнейшего детального исследования.

2. АНАЛИЗ СУЩЕСТВУЮЩИХ ТЕХНОЛОГИЙ САНАЦИИ

2.1 Основные виды и технологические решения санации трубопроводов

В соответствии с международной классификацией внутренние защитные покрытия могут осуществляются в виде:

- набрызговых слоёв,
- безприрывных покрытий,
- спиральных оболочек,
- точечных (местных) покрытий

Из разнообразия имеющихся методов восстановления трубопроводных сетей допускается особо отметить следующие:

-покрытие внутренней поверхности восстанавливаемого трубопровода цементно-песчанной смесью;

-протаскивание новой полиэтиленовой трубы в испорченный старый (с его разрушением и без разрушения) с помощью специальных механизмов, пример: пневмопробойник;

-протаскивание эластичной (заранее стянутой или сложенной U-образной формы) полимерной трубы внутрь восстанавливаемого трубопровода;

-применение эластичных компонентов из листового материала с зубчатой скрепляющей текстурой;

-применение эластичных комбинированных рукавов, позволяющих создавать новую композитную трубу внутри прежней;

-применение узкорулонной навивки (бесконечных профильных лент) на внутреннюю плоскость изношенной трубы;

-установка точечных (местных) покрытий

					Оценка эффективности применения санации как метода защиты от коррозии		
		ФИО				Лист	Листов
Разработал	Миллер О.Ю.				Анализ существующих типов санации	26	
Руковод.	Брусник О.В.						
И.о. зав.каф.	Бурков П.В.						
						Отделение нефтегазового дела Группа 2БМ6А	

Результативность применения этого, либо другого способа и материала с целью восстановления обуславливается после подробных диагностических исследований и решения технической экспертизы.

2.2 Методы восстановления трубопроводных систем

В соответствии с сегодняшней международной систематизацией видов внутренних защитных покрытий трубопроводов они смогут производиться в вариантах набрызгиваемых оболочек (облицовок, рубашек, обделок); беспрерывных покрытий; спиральных оболочек; точечных (местных) покрытий.

В качестве примера набрызговых оболочек можно привести цементно-песчаные покрытия (ЦПП) наносимые на внутреннюю плоскость санируемой труб. Сплошные покрытия - вводимые в ремонтируемый трубопровод и фиксируемые трубе разного рода оболочки, к примеру, новые полиэтиленовые трубы, эластичные полимерные рукава, затвердевающие на участке выполнения санации.

Образцом спиралевидных оболочек может выступать структура внутреннего защитного покрытия посредством навивки неширокой пластиковой ленты с особым штекерным разъемом в концах, в следствии чего изнутри ремонтируемого трубопровода возникает другой пластиковый трубопровод.

Точечные покрытия, это герметичные строительные материалы (смолы, вставки, бандажи и т.д.), предназначенные для ремонта единичных повреждений в трубопроводах, если нет необходимости в полном восстановлении всего трубопровода.

Цементно-песчаное покрытие (ЦПП)

Напыление ЦПП на внутреннюю плоскость ремонтируемого стального, либо чугунного трубопровода необходимо расценивать, как противокоррозионную изоляцию соприкасаемой с перекачиваемой средой поверхности.

Защитные характеристики цементного покрытия при взаимодействии с металлом знакомы уже 150 лет. В первой половине XIX века существовали рекомендации Французской Академии наук по использованию цемента для защиты

Нужная толщина предохранительного слоя получается быстротой продвижения метательной головки в трубе, при равной скорости подачи армоцементной смеси и быстроты вращения метательной головки.

Метод напыления является, самым эффективным при следующих дефектах: обрастании ржавчиной; стачивании стенок абразивами. Но, так же подобный метод совершенно неэффективен при открытых стыках и деформированных частях труб, сильнейшем износе абразивами, потому как не обеспечивает увеличения несущей способности трубопровода.

Внутренняя поверхность трубопровода, до напыления ЦПП, должна пройти очистку. На внутренней плоскости металлических труб разрешается слой коррозии не больше, чем 0,05 мм. Перекачиваемая среда из трубопровода должна быть удалена.

Эллипс труб не должен быть более 0,5% диаметра, а поражение ржавчиной не больше чем 10% толщины трубы. Слой ЦПП для 13 металлических труб обязан отвечать техническим условиям, оговорённым с заказчиком.

Минимальные толщины слоя в зависимости от диаметра трубопровода представлены в таблице 2.1.

Таблица 2.1 Минимальные толщины защитного слоя с допусками

Наружный диаметр трубы, мм	Минимальная толщина слоя ЦПП, мм	Допуск слоя ЦПП, мм
1	2	3
76	4	+2
89	4	+2
102	4	+2
108	4	+2
114	4	+2
133	4	+2
159	5	+2
219	5	+2
273	5	+2
325	6	+2

Протаскивание нового трубопровода в поврежденный старый (с его разрушением и без разрушения)

Основным достоинством этого способа является возможность реставрации разрушенных трубопроводов посредством протяжки нового, к примеру, полиэтиленового низкого давления (ПНД), в участке прежнего. Протяжка новой трубы в старый наиболее выгодно в случае, если нужна полная замена старого трубопровода с увеличением диаметра сети. В отечественной и зарубежной практике применяется метод протяжки новой трубы в старый трубопровод с его разрушением.

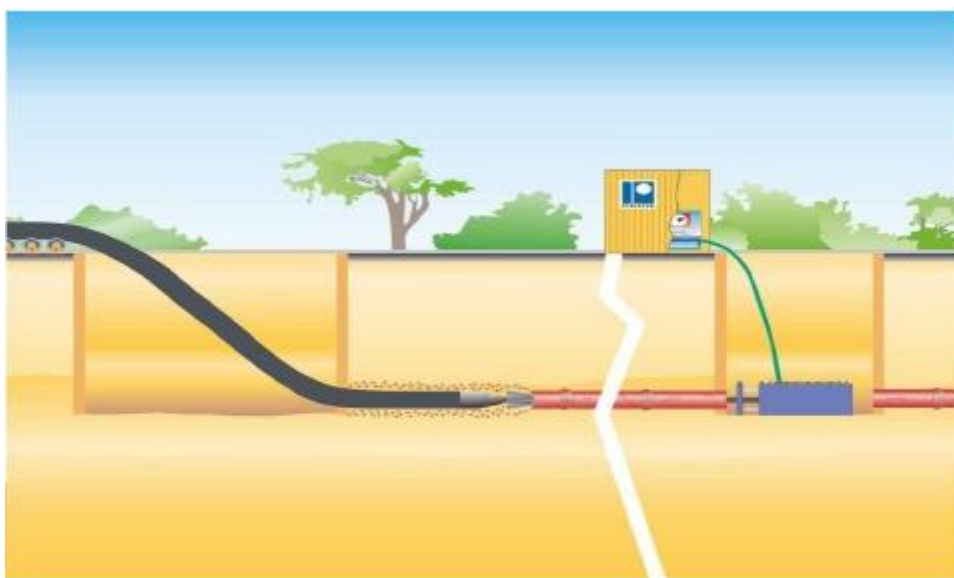


Рисунок 2.4 Протаскивание нового трубопровода в поврежденный старый с его разрушением

После разрушения ветхих трубопроводов их заменяют новыми из различных материалов, большего диаметра, чем старые. Бестраншейный способ замены труб посредством разрушения и протягивания новых обладает неоспоримыми преимуществами по сравнению с другими: увеличение диаметра трубы даёт более высокую пропускную способность; может применяться труба из полимерных материалов, которая выдерживает большие нагрузки в течении 50-100 лет.

Помимо этого, способ допускает использование в неустойчивых грунтах. Протаскивание нового трубопровода с одновременным разрушением ветхого

Виды повреждений (дефектов),	Мелкие трещины, коррозия, износ	Любые повреждения	Любые повреждения	Средние трещины и сколы, неплотности соединений
Технологические, технические и эксплуатационные показатели	Нанесение цементно-песчаных покрытий	Протаскивание нового твёрдого трубопровода в старый пневмопробойником	Протаскивание гибкой предварительно сжатой полимерной трубы	Протаскивание гибкой сложенной (U-образной) полимерной трубы
Материал ремонтного покрытия	Цементнопесчаная смесь	Полипропилен, поливинилхлорид, полиэтилен	Полиэтилен	Полиэтилен высокого давления, полипропилен
Термостойкость, °С	Без ограничений	45	50	50
Требования к подготовке внутренней поверхности трубопровода	Очистка скребками	Не требуется	Очистка водой под давлением, контроль дисками	Очистка водой под давлением, контроль дисками
Продолжительность технологического цикла при ремонте участка длиной 100 м, рабочих смен	3-5	1	1	1
Срок службы ремонтного покрытия, лет прогноз реальность	30 Более 20	50-100 Более 50	50 Более 30	50 Более 10
Потери диаметра трубопровода после ремонта, %	5-10	Нет	3-5	10-15

3 STRESS-STRAIN STATE ANALYSIS OF DOUBLE-LAYER PIPELINE

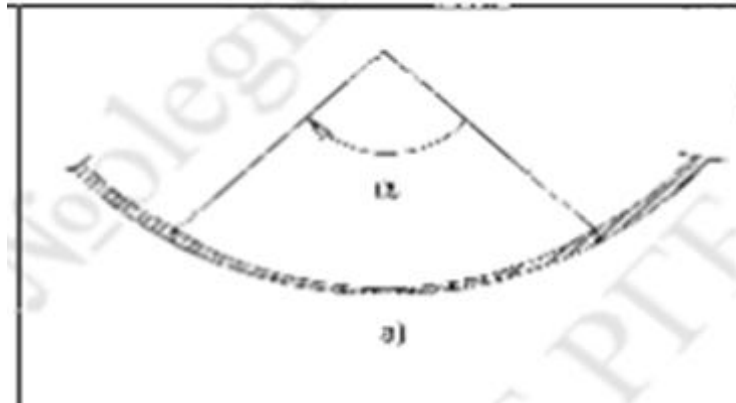
3.1 Stress-strain state calculation of corroded pipeline

According to Popodko [21] different types of flow induced corrosion can be allocated: circle-shaped, oval-shaped and dowel-shaped. Profiles of these types are shown in pictures 3.1 – 3.3 consequently.

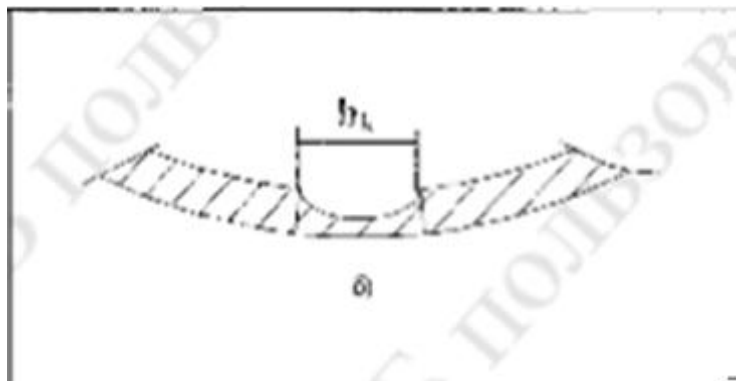
Shape of corrosion cracks influences stress-strain distribution.

For further calculations it was decided to carry out modeling of damaged section with different types of damages to provide an evaluation of its stress-strain state for each case. The purpose of calculations at the first stage is to get clearer picture of the damaging processes increasing. Projection and modeling is carried out using software product ANSYS: Workbench.

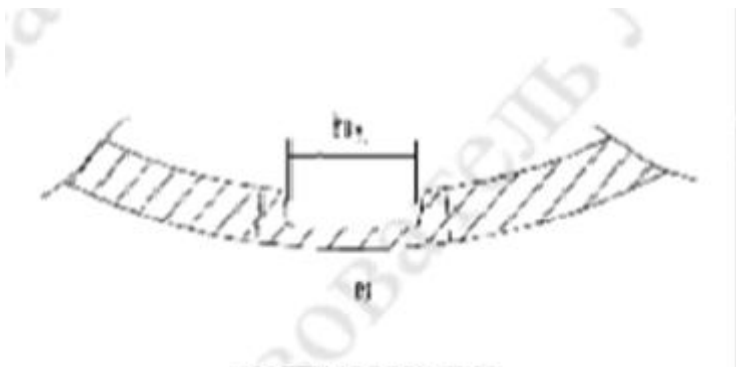
					Оценка эффективности применения санации как метода защиты от коррозии		
		ФИО				Лист	Листов
Разработал	Миллер О.Ю.				Расчетно-экспериментальная часть		
Руковод.	Брусник О.В.						
И.о. зав.каф.	Бурков П.В.						
						Отделение нефтегазового дела Группа 2БМ6А	



Picture 3.1 – Sickle-shaped corrosion



Picture 3.2 – Oval-shaped corrosion



Picture 3.3 – Dowel-shaped corrosion

3.1.1 Projecting of the damaged pipeline model

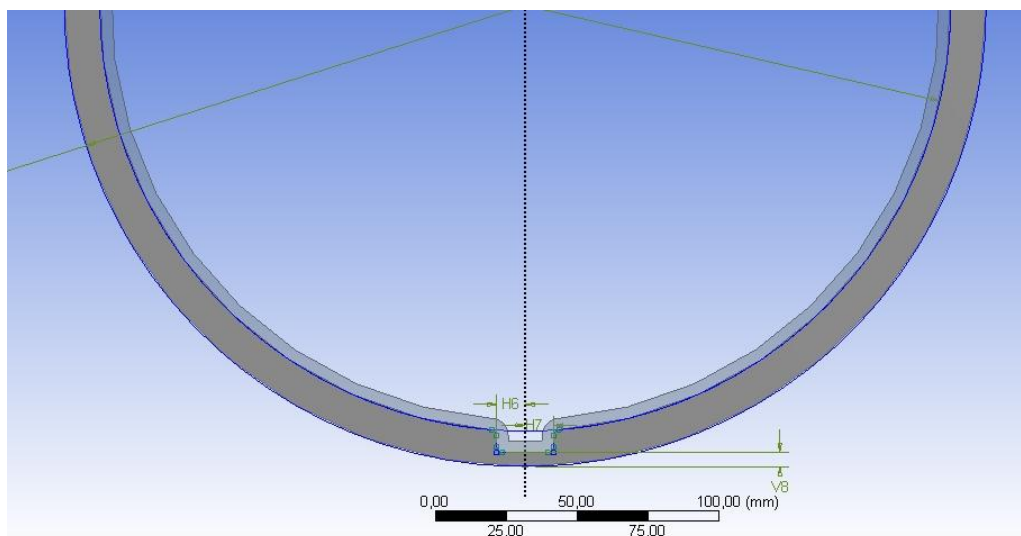
An abstract section of the corroded pipeline was considered. Main parameters of it were:

- internal pressure $P = 4$ MPa;
- grade of steel 13XΦA (Russian)
- internal diameter $D_{in} = 300$ mm;
- wall thickness $t = 12$ mm;
- length of considering section $L = 2000$ mm (2 m).

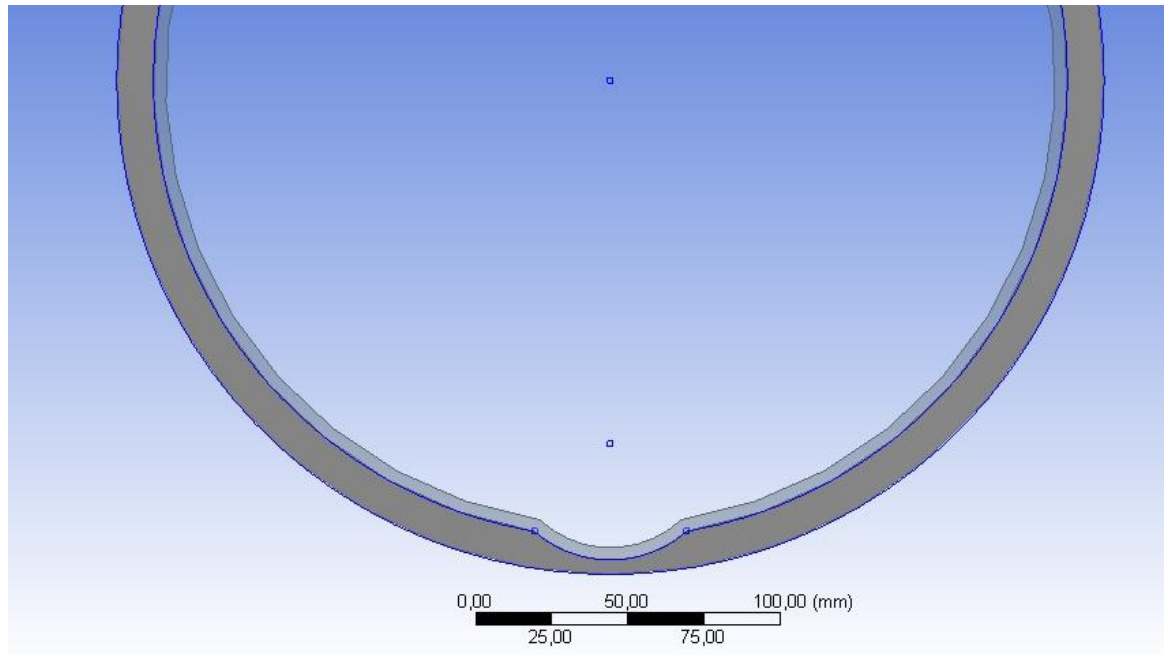
Geometry of defects depends on case of the type of corrosion (depth, width, shape).

Considering recommendations of Popodko, [21] plot geometry for three types of corrosion as it is shown on pictures 3.1 – 3.3.

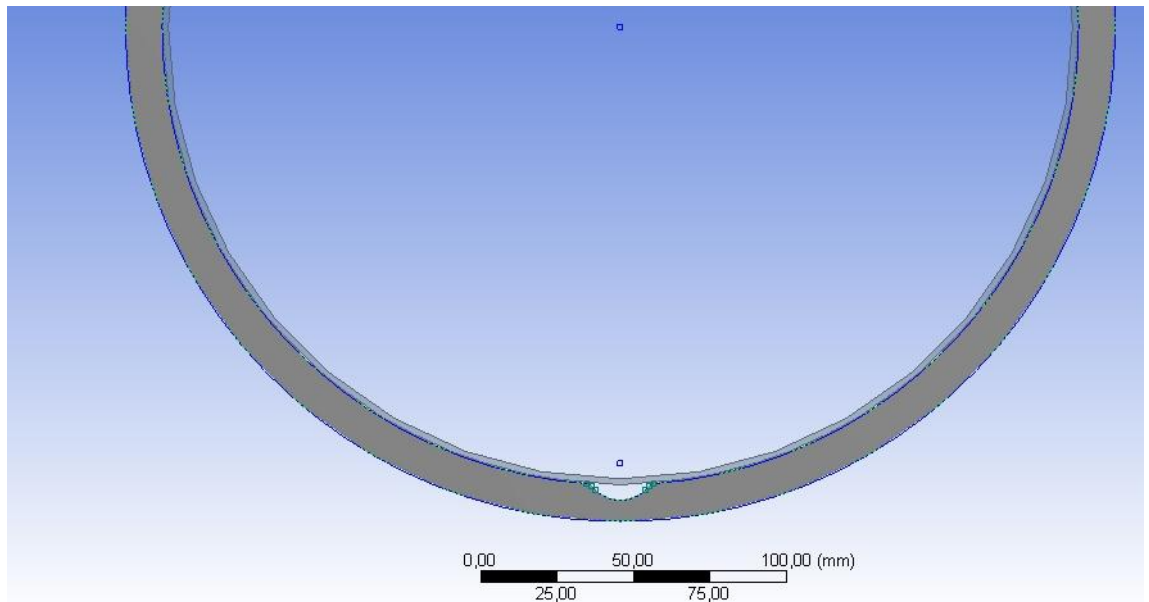
Pictures 3.4 – 3.6 represent the process of plotting of geometry for dowel-shaped, sickle-shaped and oval-shaped corrosion consequently. For geometry creating built CAD-system of ANSYS is used.



Picture 3.4 – Geometry of dowel-shaped corrosion



Picture 3.5 – Geometry of sickle-shaped corrosion




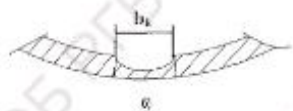
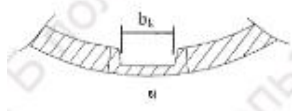
Picture 3.6 – Geometry of oval-shaped corrosion

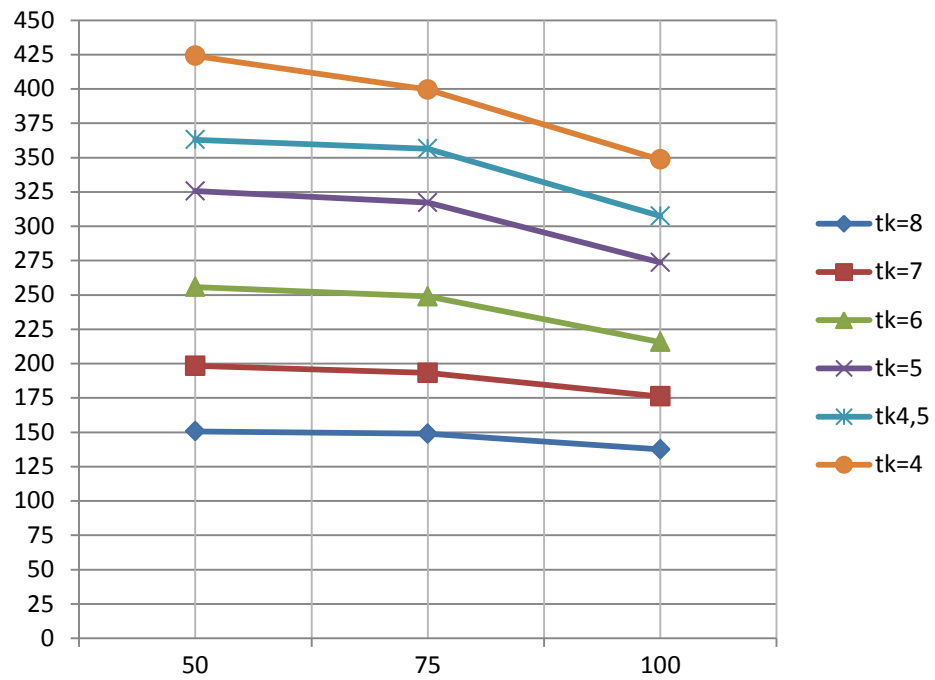
Solid bodies were obtained using operation “extrude”. At the same time with corrosion defect drawing internal covering was also modeled and suppressed for postponing until next stage of calculations.

3.1.2 Finite element method

Finite element method was created in the middle of the last century for solving of tasks of industrial mechanics and the theory of elasticity. Later it was started to research by mathematicians to check its convergence and clarity. To date, this method is used in many engineering fields from electrical engineering to mechanical engineering.

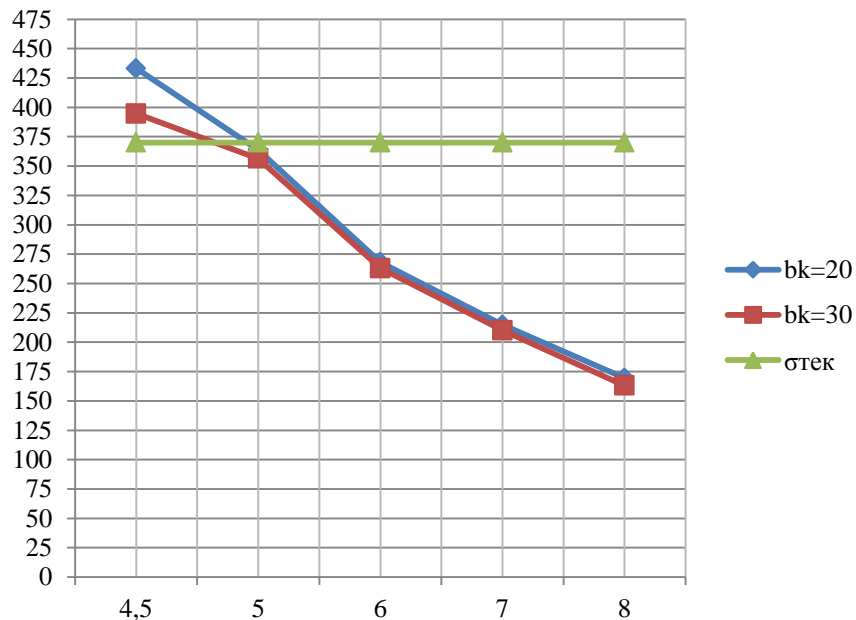
Table 3.2 – Maximum equivalent stress (MPa) for different shapes of corrosion defects under the internal pressure $p = 4$ MPa

Форма канавки	 Серповидная			 Овальная		 Шпоночная
Геометрия	b_k, mm			b_k, mm		b_k, mm
t_k, mm	50	75	100	20	30	20
4	424,02	399,51	348,51	-	-	-
4,5	363,01	356,47	307,4	433,09	394,7	-
5	325,59	317,18	273,6	363,69	356,36	428,91
6	255,82	248,88	215,74	268,08	263,03	346,83
7	198,35	193,27	176,14	214,7	210,15	273,46
8	150,66	148,98	137,57	169,52	163,13	236,81



Picture 3.12 – The dependence of maximum equivalent stress from defect width
Oval-shaped defect

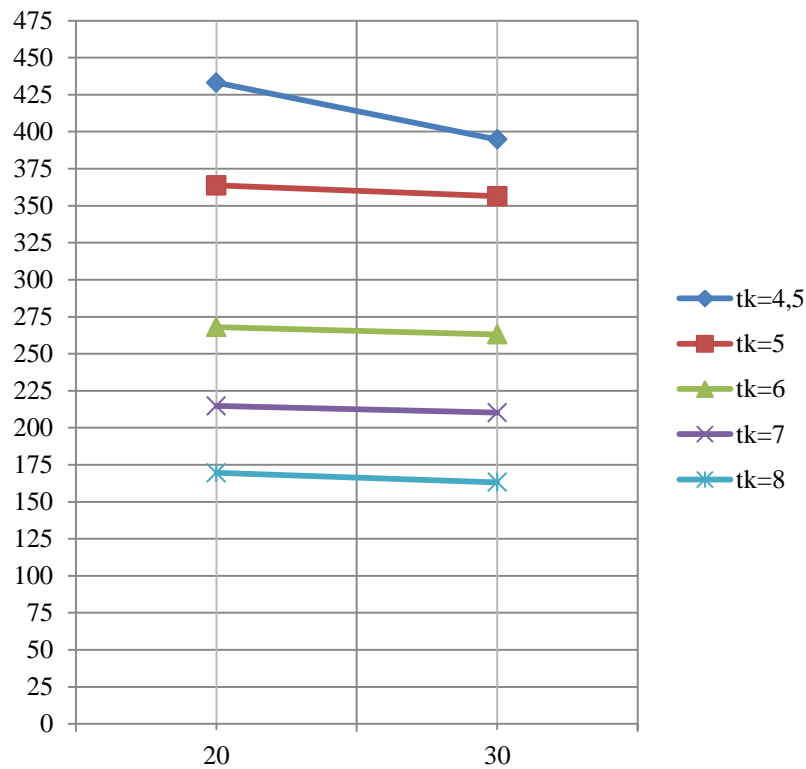
Same graphs were obtained for the oval-shaped corrosion defect. In this case two values of width were used: 30 and 20 mm. Results are shown on the picture 3.13.



Picture 3.13 – Dependence of maximum equivalent stress from the groove depth

Plot demonstrates that the corroded pipeline is close to its extreme limit state when depth of the defect equals 5 mm. Maximum equivalent stress increases much faster than in sickle-shaped corrosion defect and achieved its limit state in less values of depth.

The dependence of maximum equivalent stress from the defect width is shown on picture 3.14.

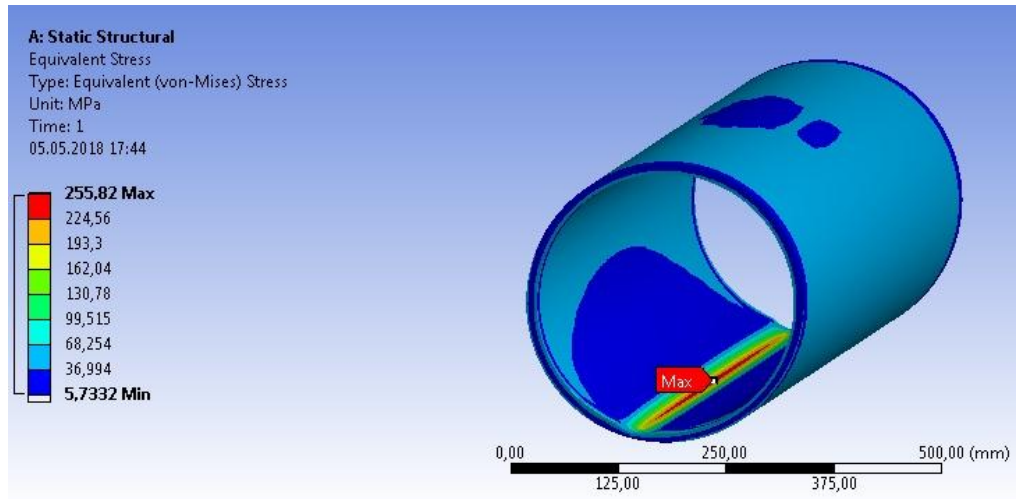


Picture 3.14 – Dependence of maximum equivalent stress from the groove depth

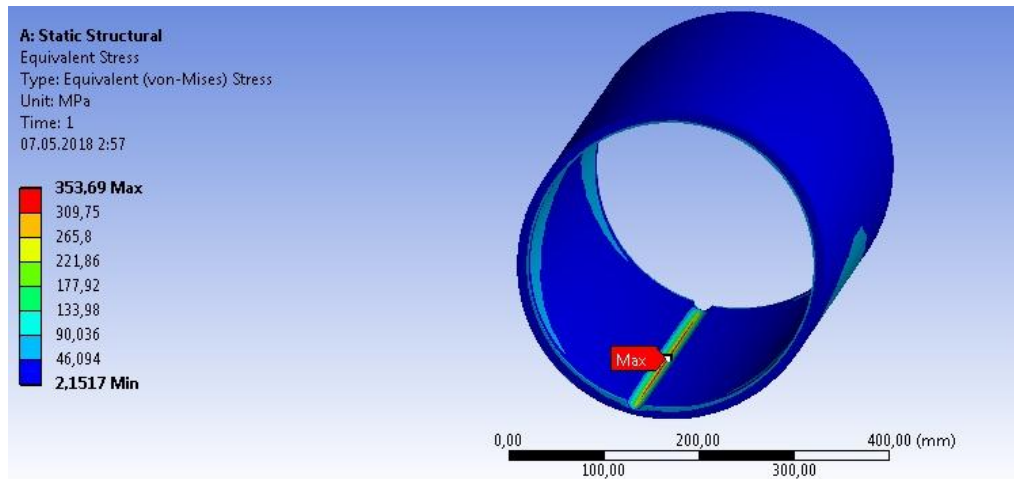
According to this it can be concluded that also depth of the corrosion defect strongly influences to the stress distribution.

Dowel-shaped defect

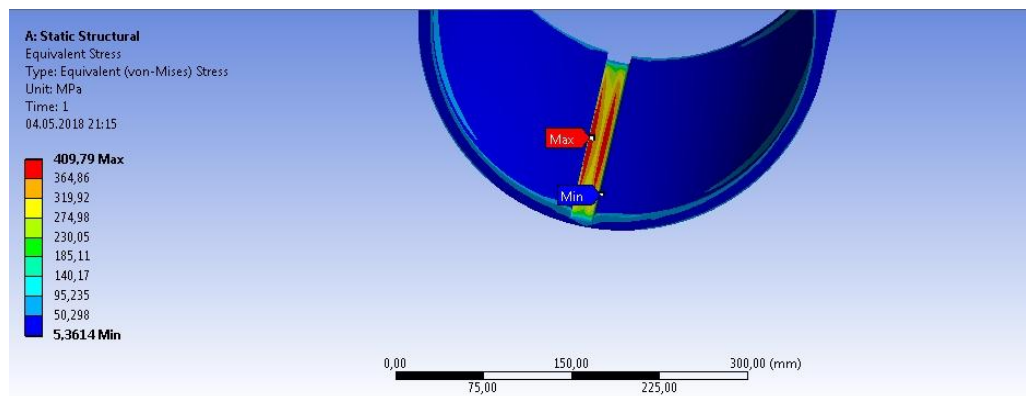
According to Popodko [21] in this case of the corrosion defect its width has influence to its maximum equivalent stress because of its shape. Taking into account this information dependence of stress from the defect depth was plotted for the one case. Width was equaled to 20 mm. The results of plotting are shown on the picture below.



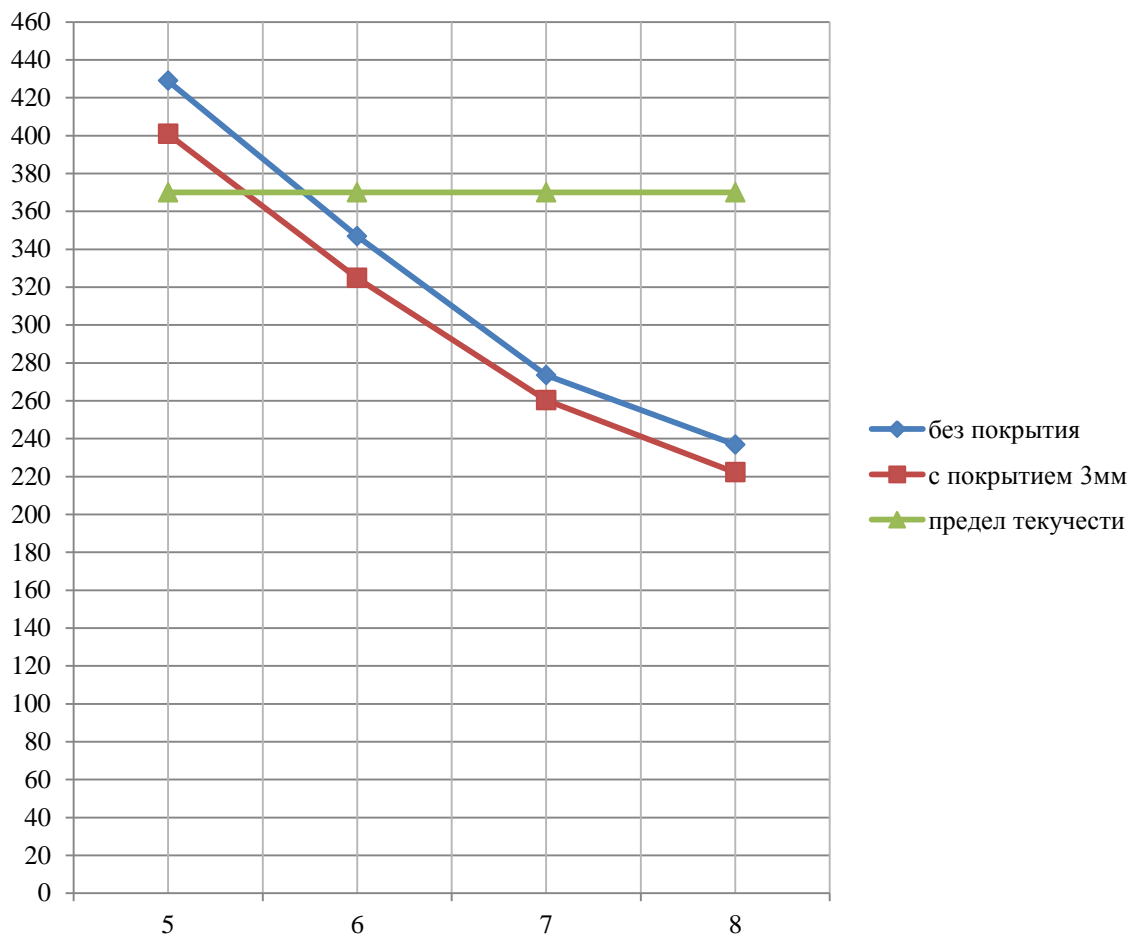
Picture 3.16 – Stress distribution of the corroded pipeline with the sickle-shaped defect



Picture 3.17 – Stress distribution of the corroded pipeline with the oval-shaped defect



Picture 3.17 – Stress distribution of the corroded pipeline with the dowel-shaped defect

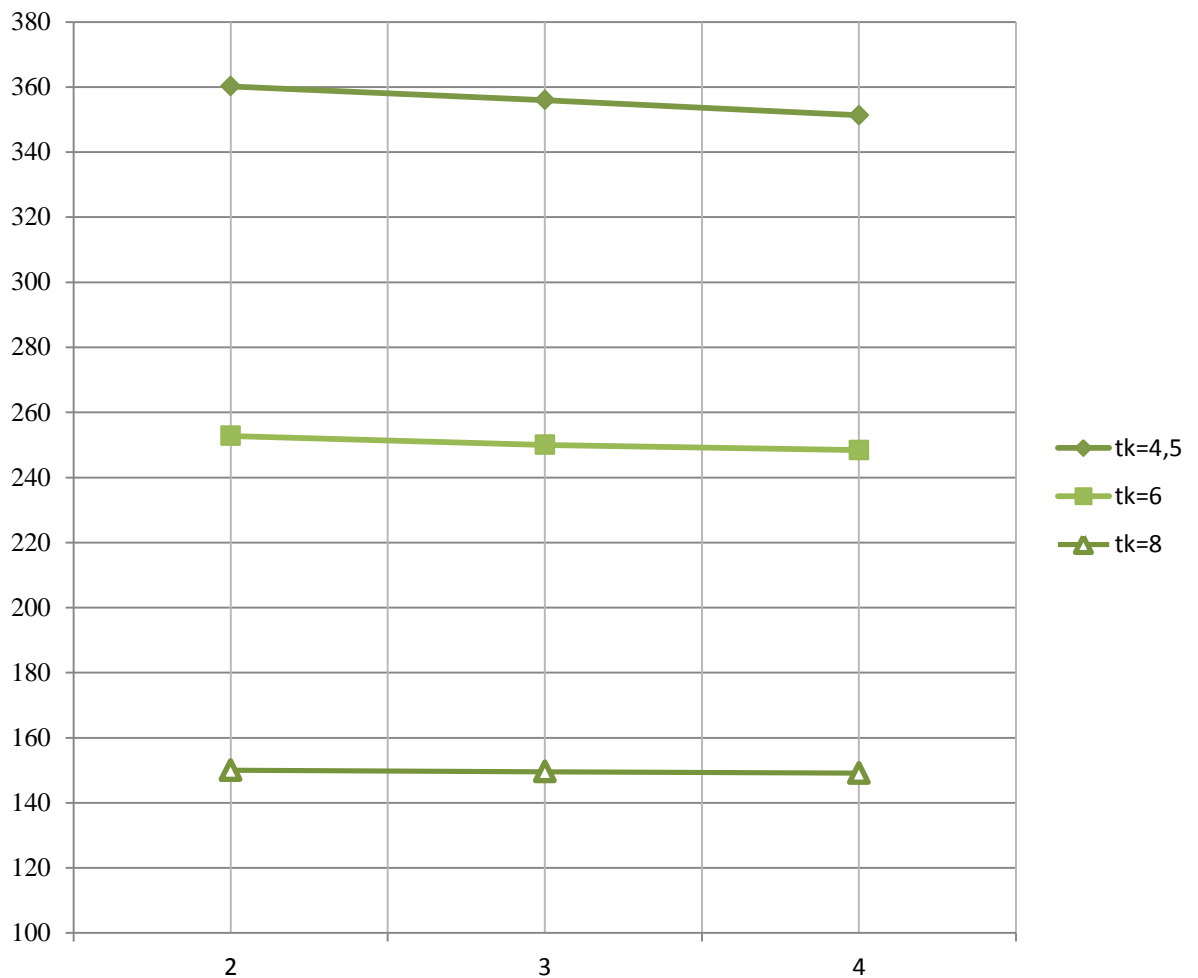


Picture 3.24 – Stress-strain distribution for dowel-shaped defect with (red) and without (blue) covering

Plot indicates that for dowel-shaped defect protective layer has the highest influence to maximum stress distribution.

During the next experiment sickness of covering and its influence to maximum stress distribution was evaluated. Pipeline with the sickle-shaped defect were considered. Width of the defect was 50 mm. Dependences were obtained for three remain wall thickness (t_k) of the defect: 4,5 mm, 6 mm, 8 mm.

Results are shown on the picture 3.24.



Picture 3.25 – Dependence of the stress-strain distribution for sickle-shaped defect from covering thickness

According to the results it can be concluded that covering thickness has higher influence in case of lower values of wall thickness (higher value of the defect depth).

3.2.4 Retirement wall thickness calculation

To check used methods validity, it was decided to calculate retirement wall thickness according to [2]. Using formula:

$$\delta_{\text{отб.}} = \frac{n \cdot P \cdot a \cdot D_H}{2(R_1 + n \cdot P)} \quad (1)$$

When $\frac{R_2^H \cdot m_3}{R_1^H \cdot m_2} \geq 0,75$

where $\delta_{\text{отб.}}$ - retirement wall thickness

P – internal pipeline pressure

D_H – external diameter of pipeline

4. ПОРЯДОК ПРОВЕДЕНИЯ РАБОТ

4.1 Порядок проведения работ

4.1.1 Состав работ

При проведении санации гибким полимерным рукавом выполняются следующие действия:

- очистка трубопровода, промывка и телеметрия ремонтируемого участка;
- пропитка и введение рукава внутрь трубы;
- проведение мероприятий по отверждению рукава;
- охлаждение рукава;
- обрезка выпусков по краям рукава.

4.1.2 Проведение работ

В данной работе рассматривается метод выворачивания полимерного рукава. Работы производятся в следующем порядке.

Над стартовым колодцем производится установка вышки с инверсионным кольцом. Рядом с вышкой располагают конвейер так, чтобы его раскладывающаяся часть заканчивалась над центром инверсионного кольца. Вместо конвейера может использоваться кран.

Заранее подготовленный по длине рукав заполняется определенным количеством смолы (при пропитке на стройплощадке). Конец рукава прикрепляют к ленте, с помощью которой он втягивается в реверсивную емкость мобильной установки. При его протаскивании рукав проходит между валиков которые обеспечивают его пропитку.

Далее рукав наматывается на барабан реверсивной емкости, затем его конец прикрепляется к специальной головке, которая располагается на вышке. Потом рукав вручную выворачивается в трубу на глубину около метраметра, подводится шланг с водой.

					Оценка эффективности применения санации как метода защиты от коррозии		
			Ф				
Разработал	Миллер О.Ю.				Порядок проведения работ	Лист	Листов
Руковод.	Брусник О.В..						
И.о. зав.каф.	Бурков П.В.						
						Отделение нефтегазового дела Группа 2БМ6А	

5. РЕЗУЛЬТАТЫ ИССЛЕДОВАНИЯ

В результате проведенной работы была рассмотрена нормативно-техническая документация в области промысловых трубопроводов; проведен обзор литературы и анализ методов борьбы с внутренней коррозией

Было проведено исследование причин возникновения ручейковой коррозии на [REDACTED] месторождениях. По итогам анализа были сделаны выводы о механо-электрохимическом характере протекания процесса, что согласуется с результатами исследований по данной проблеме, которые были проанализированы в первой части работы.

Была выполнена оценка методов борьбы с внутренней коррозией нефтепроводов с учетом условий эксплуатации [REDACTED] месторождения. По итогам оценки было рекомендовано в качестве наиболее эффективного метода для борьбы с внутренней коррозией трубопроводов использовать технологию санации.

В расчетно-экспериментальной части работы был проведен расчет отбраковочной толщины стенки трубопровода диаметром 325 мм для давления 6,3 Мпа. Отбраковочная толщина составила: $\delta_{отб.} = 5$ мм. Затем была проведена оценка НДС корродированного трубопровода для разных случаев, максимальные эквивалентные напряжения превысили предел текучести стали 13ХФА при достижении остаточной толщины стенки 5 мм, что показало правомерность применяемой модели для оценки НДС корродированного трубопровода. Используя проверенную модель, было проведено численное моделирование методом конечных элементов (МКЭ) для корродированного трубопровода с покрытием на разных видах дефектов по типу ручейковой коррозии. Наблюдалось снижение напряжений, что позволяет сделать вывод о повышении надежности конструкции после введения полимерного рукава.

					Оценка эффективности применения санации как метода защиты от коррозии		
				Ф			
Разработал	Миллер О.Ю.				Результаты исследования	Лист	Листов
Руковод.	Брусник О.В..					68	
						Отделение нефтегазового дела	
И.о. зав.каф.	Бурков П.В.					Группа 2БМ6А	

6 ФИНАНСОВЫЙ МЕНЕДЖМЕНТ И РЕСУРСОСБЕРЕЖЕНИЕ

6.1 SWOT-анализ

SWOT-анализ применяется для стратегического планирования, он позволяет провести оценку проекта, выявив его слабые и сильные стороны. Анализ проводился для оценки эффективности санации как метода защиты от коррозии промышленных трубопроводов. В таблице 6.1 представлены результаты анализа по данному методу.

Таблица 6.1 – Матрица SWOT

Внутренняя среда	Сильные стороны	Слабые стороны
	Повышение надежности трубопроводов	Сложность проведения работ
	Продление срока эксплуатации трубопроводов	Более высокая стоимость в сравнении с традиционными методами ремонта
Внешняя среда	Возможности	Угрозы
	Широкий диапазон изменения параметров технологии	Риски связанные с некачественным проведением работ, сводящие на нет эффект применения
	Возможность подбора требуемых параметров технологии с учетом опыта применения	Недостаточное нормативно-техническое обеспечение технологии в нефтегазовой отрасли
Повсеместное внедрение, разработка рекомендаций в соответствии с различными условиями с учетом практики		

					Оценка эффективности применения санации как метода защиты от коррозии		
						Лист	Листов
Разработал	Миллер О.Ю.					70	
Руковод.	Брусник О.В..				Финансовый менеджмент и ресурсоэффективность		
И.о. зав.каф.	Бурков П.В.						

6.2 Проведение оценки готовности проекта к коммерциализации

Проект должен быть оценен с точки зрения готовности к коммерциализации. Также проводится определение уровня собственных знаний.

В таблице 6.2 приведены показатели степени проработки проекта.

Таблица 6.2 – Оценка степени готовности научного проекта к коммерциализации

№ п/п	Наименование	Степень проработанности научного проекта	Уровень имеющихся знаний у разработчика
1	Определение имеющегося научно-технического задела	4	4
2	Определение перспективных направлений коммерциализации научно-технического задела	5	4
3	Определение отрасли и технологии (товары, услуги) для предложения на рынке	5	3
4	Определение товарной формы научно-технического задела для представления на рынок	5	3
5	Определены авторы и осуществлена охрана их прав	4	3
6	Проведение оценки стоимости интеллектуальной собственности	4	4
7	Проведение маркетинговых исследований рынков сбыта	2	2
8	Разработка бизнес-плана коммерциализации научной разработки	2	2
9	Определение путей продвижения научной разработки на рынок	3	3
10	Разработка стратегии (формы) реализации научной разработки	3	3
11	Проработка вопросов международного сотрудничества и выхода на зарубежный рынок	3	3
12	Проработка вопросов использования услуг инфраструктуры поддержки, получения льгот	4	4
13	Проработка вопросов финансирования коммерциализации научной разработки	3	3

Таблица 6.3 – ФОТ за 1 рабочий день

ФОТ			Вахтовая надбавка
ч	руб/ч	руб	
11	601	6 615	350
11	505	5 560	350
11	402	4 420	350
11	502	5 530	350

Таблица 6.4 – ФОТ за 2 рабочий день

ФОТ			Вахтовая надбавка
ч	руб/ч	руб	
8,5	601,25	5 110	270,45
8,5	502,53	4 270	270,45
8,5	402,06	3 420	270,45
8,5	502,53	4 270	270,45
8,5	405,33	3 445	270,45

Таблица 6.5- Страховые отчисления за 1 рабочий день

Страховые взносы						
Годовая з/п	Пенсионн ый фонд	ФФОМС	ФСС	Страховы е отчисления за год	% страховых отчислений	Сумма страховых отчислений
1 184 452,97	240 965,30	60 407,10	23 635,00	325 007,40	27%	1 910
995 382,25	218 984,10	50 764,49	23 635,00	293 383,59	29%	1 740
792 065,69	174 254,45	40 395,35	22 969,90	237 619,71	30%	1 430
989 976,54	217 794,84	50 488,80	23 635,00	291 918,64	29%	1 730

Таблица 6.7- Затраты на технику за 1 рабочий день

Марка автомобиля	Машиночасы			Пробег			Встроенное оборудование			Всего, руб
	ч	руб/ч	руб	км	руб/км	руб	ч	руб/ч	руб	
Трэкол	11	708	7 790	200	14,13	2 826	-	-	-	10 620
Урал АНРВ	11/ 7	1107	12 178	115	26,91	2 864	7	341	2389	17 400

Таблица 6.8- Затраты на технику за 2 рабочий день

Марка автомобиля	Машиночасы			Пробег			Встроенное оборудование			Всего, руб
	ч	руб/ч	руб	км	руб/км	руб	ч	руб/ч	руб	
Трэкол	8,5	708	6 023,4 4	172	14,13	2 430	-	-	-	8 450
Урал АНРВ	8,5	1107	9 410,8 6	190	26,91	5 112	7	341	2389	16 920

7. СОЦИАЛЬНАЯ ОТВЕТСТВЕННОСТЬ

Нефтепроводы могут быть причиной повышенной опасности для здоровья человека. Основа ведения работ – безопасное ведение технологического процесса и исключение этих рисков.

В данном разделе проводится анализ, который включает в себя оценку наличия и влияния опасных и вредных факторов, которые характерны для эксплуатации нефтепроводов, технологий и оборудования на объекте. Также рассматриваются действия при чрезвычайных ситуациях.

7.1 Производственная безопасность

Для нефтепромысловых объектов могут быть выделены следующие опасные факторы: *вероятность возникновения пожара, поражение электрическим током, поражение движущимися механизмами.*

К числу вредных факторов могут быть отнесены: *повышенный уровень шума, повышенный уровень вибрации на рабочем месте, загазованность воздуха.*

					Оценка эффективности применения санации как метода защиты от коррозии		
		Ф					
Разработал	Миллер О.Ю.				Социальная ответственность	Лист	Листов
Руковод.	Брусник О.В..					81	
						Отделение нефтегазового дела	
И.о. зав.каф.	Бурков П.В.					Группа 2БМ6А	

7.1.1 Анализ вредных производственных факторов рассматриваемого объекта

Недостаточная освещенность рабочей зоны

Степень освещенности влияет на работоспособность человека, здоровье глаз, психоэмоциональное состояние.

Освещение, как правило, может быть разделено на искусственное и естественное.

Рабочие места на месторождении при эксплуатации нефтесборных трубопроводов при отсутствии естественного освещения оснащаются искусственным освещением. Все помещения и участки открытых пространств, предназначенные для работы и движения транспорта должны иметь искусственное освещение. Раздельное управление освещением требуется в случае помещений с наличием разных условий освещения [49].

Освещение должно соответствовать приведенным ниже требованиям.

Таблица 7.1- нормы освещенности [49]

Рабочее место	Норма освещенности, лк
Площадка для производства работ :	На 1000м ² :
земляных	0,5...0,8
бетонных и железобетонный	1...1,2
каменных	0,6...0,8
монтажных сборных конструкций	2,4
Открытые склады	0,8...1,2 на 1000м ²
	На 100 м ² :
Конторы	1...1,5
Столовые	0,8...1
Бетоно- и растворосмесительные узлы	0,5
Арматурные мастерские	1,3
Механические мастерские	1,3
Внутрипостроечные дороги	2,5 на 1 км
Охранное освещение	1,5 на 1 км

Освещение должно быть постоянным во времени, без пульсации, иметь спектр, близкий к естественному. Нужно обеспечить равномерное распределение яркости

вибрационной нагрузки на оператора для длительности смены 8 ч приведены в таблице 7.3 [50].

Таблица 7.3- Санитарные нормы уровня вибрации

Вид вибрации	Категория вибрации по санитарны м нормам	Направление действия	Нормативные, скорректированные по частоте и эквивалентные скорректированные значения			
			виброускорения		виброскорости	
			$\text{м} \times \text{с}^{-2}$	дБ	$\text{м} \times \text{с}^{-2} \times 10^{-2}$	дБ
Локальная	-	$X_{\text{л}}, Y_{\text{л}}, Z_{\text{л}}$	2,0	126	2,0	112
Общая	1	Z_0	0,56	115	1,1	107
		Y_0, X_0	0,4	112	3,2	116
	2	Z_0, Y_0, X_0	0,28	109	0,56	101
	3 тип «а»	Z_0, Y_0, X_0	0,1	100	0,2	92
	3 тип «в»	Z_0, Y_0, X_0	0,014	83	0,028	75

Воздействие разного уровня вибрации представлены в таблице 7.4

Таблица 7.4- Влияние вибрации на организм человека

Амплитуда колебаний вибрации, мм	Частота вибрации, Гц	Результат воздействия
До 0,015	Различная	Не влияет на организм
0,016—0,050	40—50	Нервное возбуждение с депрессией
0,051—0,100	40—50	Изменение в центральной нервной системе, сердце и органах слуха
0,101—0,300	50—150	Возможно заболевание
0,101—0,300	150—250	Вызывает виброболезнь

Повышенная запыленность и загазованность рабочей зоны

При эксплуатации и ремонте нефтесборных коллекторов на месторождении возникает опасность выхода газа из оборудования и трубопровода, что может привести к отравлению рабочих [51].

Перед началом работ в ремонтном котловане переносным газоанализатором АНТ–2М проверяется уровень загазованности воздушной среды. При этом содержание паров нефти и газов не должно превышать предельно-допустимой концентрации по санитарным нормам согласно таблице 6.5. Работа разрешается только после устранения опасных условий. В процессе работы следует периодически контролировать загазованность, в случае необходимости - обеспечить принудительную вентиляцию.

Таблица 6.5- Предельно допустимые концентрации вредных веществ в воздухе рабочей зоны

Вещества	Предельно допустимая концентрация, мг/м ³
Бензин – растворитель (в пересчете на углерод)	300
Керосин (в пересчете на углерод)	300
Сероводород в смеси с углеводородами C ₁ – C ₅	3
Углеводороды C ₁ – C ₁₀	300
Стирол	5
Перексид метилэтилкетона	5
Аэросил	1
Дибутилфталат	0,5
Метилэтилкетон	0,2
Диметиланилин	0,003
Перексид изопропилбензола	0,02
Ненасыщенная полиэфирная смола	6
Хлористый бензол	0,005
Амиловый спирт	0,002

Список используемой литературы

1. Федеральные нормы и правила в области промышленной безопасности «Правила безопасности в нефтяной и газовой промышленности», - М.: ЗАО НТЦ ПБ, 2013
2. РД 39-132-94 Правила по эксплуатации, ревизии, ремонту и отбраковке нефтепромысловых трубопроводов, - М.: ТПТЭР, 1994
3. ВСН 011-88 Строительство магистральных и промысловых трубопроводов очистка полости и испытание, - М.: Миннефтегазстрой, 1989
4. СП 34-116-97 Инструкция по проектированию, строительству и реконструкции промысловых нефтегазопроводов, - М.: АО ВНИИСТ, 1998
5. ВСН 012-88 Строительство магистральных и промысловых трубопроводов. Контроль качества и приемка работ. Часть II, - М.: Миннефтегазстрой, 1989.
6. Мустафин Ф.М., Быков Л.И., Гумеров А.Г. Промысловые трубопроводы и оборудование. – М: «Недра», 2004.
7. Абдуллин И.Г. и др. Механизм канавочного разрушения нижней образующей нефтесборных коллекторов / Нефтяное хозяйство – 1984. - № 3. – С. 51 – 53
8. Абдуллин И.Г., Гареев А.Г., Мостовой А.В., Коррозионно-механическая стойкость нефтегазовых трубопроводных систем: диагностика и прогнозирование долговечности. – Уфа: Гилем, 1997. – 177 с.
9. Мустафин Ф.М. Защита трубопроводов от коррозии в 2 томах, - СПб.: Недра, 2005
10. S. Santhana Prabha and others, Corrosion problems in petroleum industry and their solution, European Chemical Bulletin, 2014, 3(3), 300- 307
11. Бахмат Г.В., Васильев Г.Г., Богатенков Ю.В. Проектирование и эксплуатация нефтегазопроводов и хранилищ. – М: Инфа-Инженерия, 2006
12. Чухарева Н.В., Абрамова Р.Н., Л. М. Болсуновская, Коррозионные повреждения при транспорте скважинной продукции, - методические указания, Издательство НИ ТПУ, Томск, 2009

					Оценка эффективности применения санации как метода защиты от коррозии		
		Ф				Лист	Листов
Разработал	Миллер О.Ю.					94	
Руковод.	Брусник О.В..				Список используемой литературы		
					Отделение нефтегазового дела Группа 2БМ6А		
И.о. зав.каф.	Бурков П.В.						

Приложение А

Раздел 3

The efficiency evaluation of the relining using for the corrosion protection

Студент:

Группа	ФИО	Подпись	Дата
2БМ6А	Миллер Олег Юрьевич		

Консультант кафедры _____ (аббревиатура кафедры) _____ :

Должность	ФИО	Ученая степень, звание	Подпись	Дата
Доцент	Брусник О.В.	к.п.н.		

Консультант – лингвист кафедры _____ (аббревиатура кафедры) _____ :

Должность	ФИО	Ученая степень, звание	Подпись	Дата
Доцент	Коротченко Т.В.	к.ф.н.		

3 STRESS-STRAIN STATE ANALYSIS OF DOUBLE-LAYER PIPELINE

3.1 Stress-strain state calculation of corroded pipeline

According to Popodko [21] different types of flow induced corrosion can be allocated: circle-shaped, oval-shaped and dowel-shaped. Profiles of these types are shown in figures 3.1 – 3.3, respectively.

Shape of corrosion cracks influences stress-strain distribution.

For further calculations it was decided to carry out modeling of damaged section with different types of damages to provide an evaluation of its stress-strain state for each case. The purpose of calculations at the first stage is to get clearer figure of the damaging processes. Projection and modeling is carried out using software product ANSYS: Workbench.

					Оценка эффективности применения санации как метода защиты от коррозии		
		ФИО					
Разработал	Миллер О.Ю				Experimental		Листов
Руковод.	Брусник О.В.						
И.о. зав.каф.	Бурков П.В.						Отделение нефтегазового дела Группа 2БМ6А

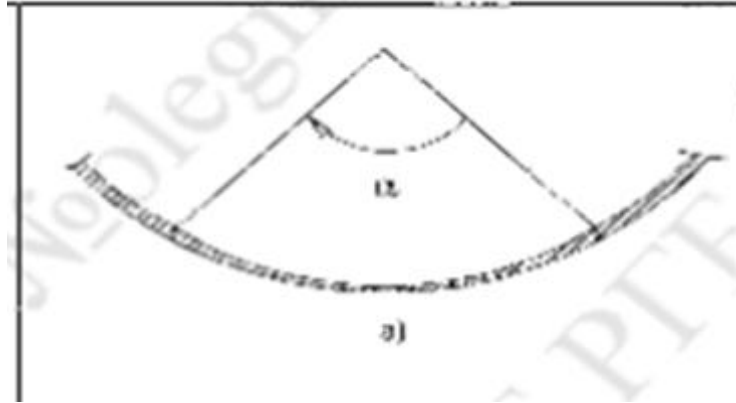


Figure 3.1 – Sickle-shaped corrosion

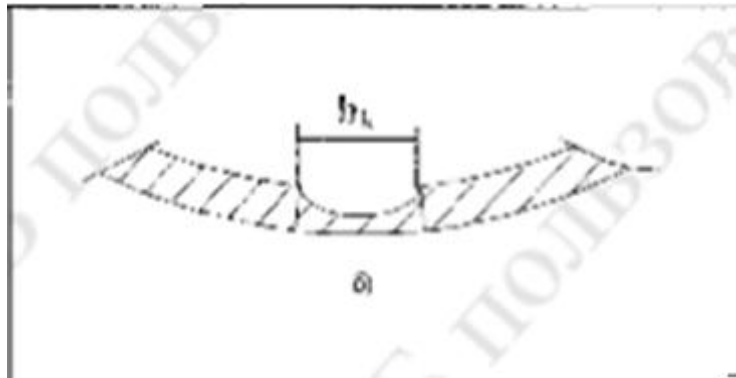


Figure 3.2 – Oval-shaped corrosion

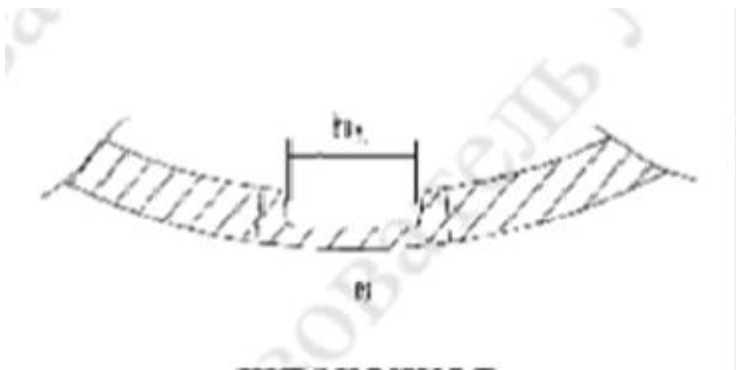


Figure 3.3 – Dowel-shaped corrosion

						Experimental	
				Подп.			

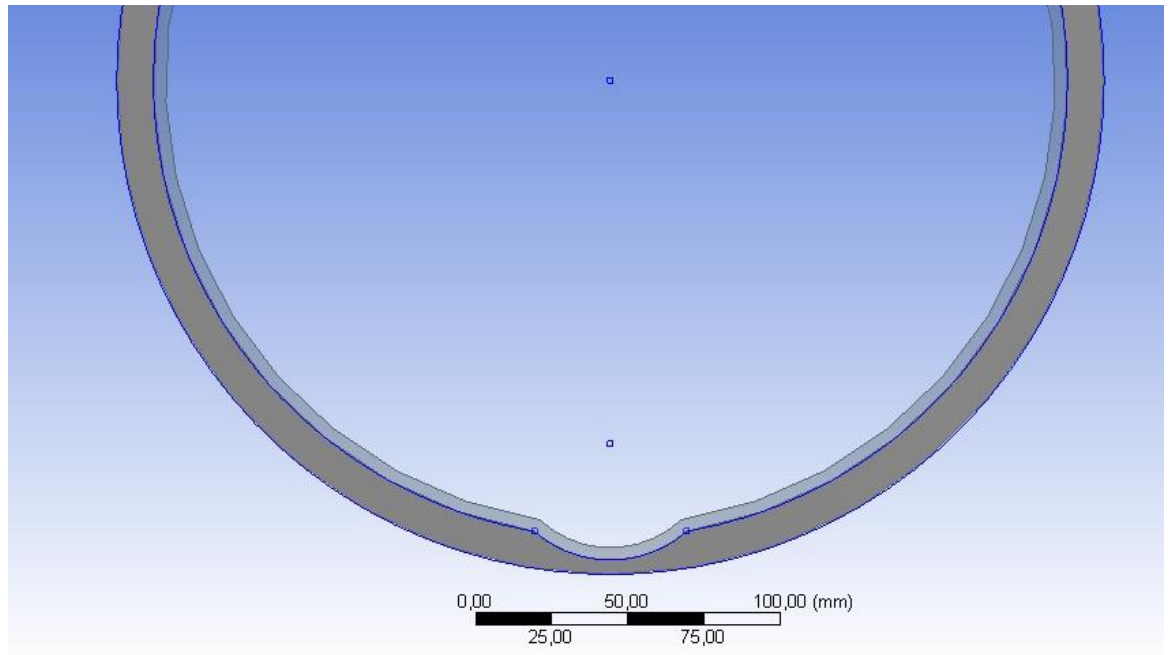


Figure 3.5 – Geometry of sickle-shaped corrosion

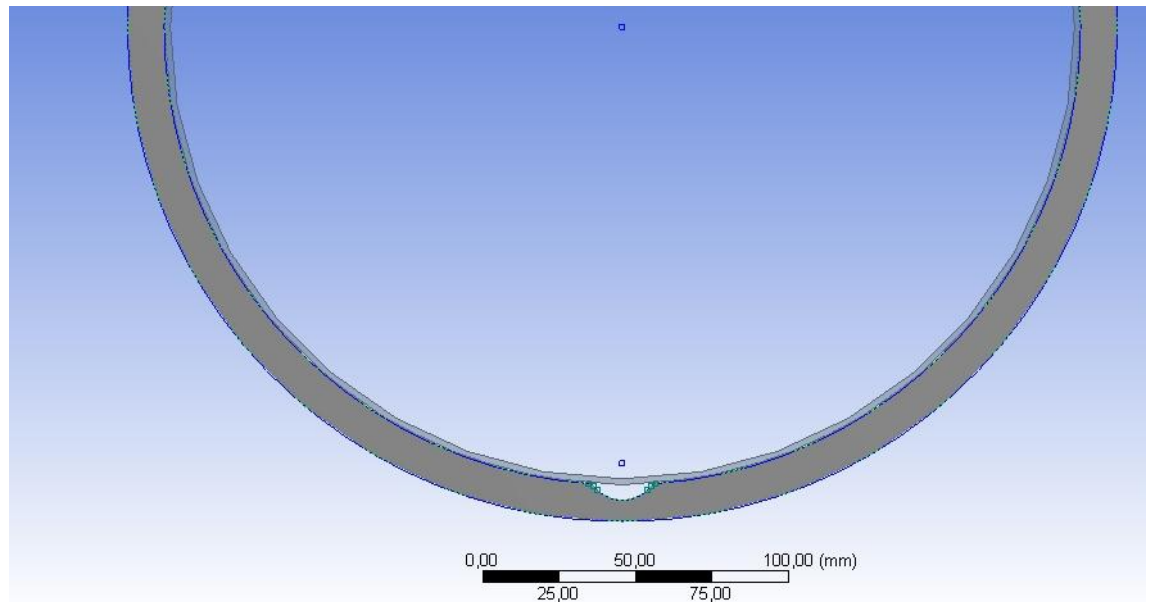


Figure 3.6 – Geometry of oval-shaped corrosion

Solid bodies were obtained using operation “extrude”. At the same time, the internal coating of the defected section was also modeled and suppressed for postponing until the next stage of calculations.

3.1.2 Finite element method

Finite element method was developed in the middle of the last century for solving the tasks of industrial mechanics and the theory of elasticity. Later, it was analyzed by mathematicians to check its convergence and clarity. To date, this method is used in many engineering fields from electrical engineering to mechanical engineering.

						Experimental	
				Подп.			

Extreme work conditions of modern constructions elements, their difficult shape and large size make it hard to accomplish a real experiment, especially in case of destructive loads.

While carrying out endurance calculations, it is necessary to build strength reliability models of construction elements. The important part of these calculations is the stage of stress-strain state. Analytic and numeric methods are used for these computations. Finite element analysis (FEM) is the numeric method. This method allows taking into account irregular form of object (construction). It should be also mentioned that the level of clarity depends on the degree of idealization.

The main idea of FEM is that any continuous variable (temperature, pressure, etc.) can be approximated by the model consisted of elements (parts). In each element continuous variable is approximated by piecewise continuous function which is built using values of investigating continuous variable in finite amount of points of the considered element. In general, continuous variable is not known beforehand, and it is needed to find values of it in internal points of the area. It is easy to project the discrete model if it is necessary to take an assumption that numeric values of this variable are known in some points of area. After that, the common case can be considered.

The mechanical and mathematical basis of the software package ANSYS (ANSYS Inc.) is finite element method (FEM). FEM is the most common and universal method of the stress-strain state analysis.

3.1.2 Developing the finite element model

Credibility of FEM computations depends on many factors including the number of finite elements. Selection of finite elements for modeling was taken using references [46, 47] and recommendations of specialists in the sphere of FEM.

Two groups of finite elements were considered: linear and parabolic shape. The difference between them is the number of nodes: parabolic elements have optional nodes on their edges. It provides better accuracy. Therefore, it was decided to use parabolic elements. The shape of elements is represented in figure 3.7.

						Experimental	
				Подп.			

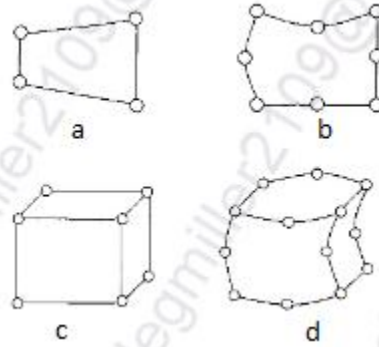


Figure 3.7 – Different types of finite elements:

- a) linear element of the first order; b) parabolic element of the first order;
c) linear element of the second order; d) parabolic element of the first order*

According the theory of elasticity, two states of solid bodies are allocated: plain stress and plain strain. Taking into account recommendations of Burkov [46], it was decided that the task of stress-strain state analysis of the damaged pipeline is plain strain task.

One of the most important stages of FEM is plotting the finite elements mesh: dividing whole model into small pieces (finite elements) which are connected between each other in nodes. Taking into account the mentioned information, mesh was plotted. Figure 5 represents the obtained mesh.

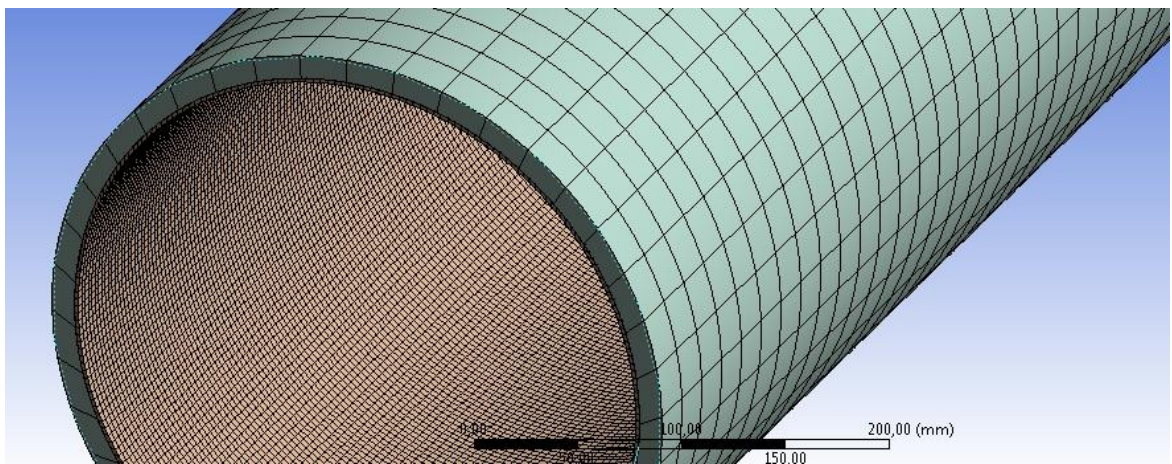


Figure 3.8 – Generated mesh

Another stage of finite element analysis is creating the boundary conditions. For the analysis, the pipe section 2 m in length was fixed by two edges. Also, the internal pressure was 6,3 MPa. The figure illustrating the fixed model with the internal pressure is given below.

						Experimental	
			Подп.				

Mises. Comparison with the yield point of steel was carried out to evaluate the extreme defect depth.

The example of calculations is shown in figure 3.10.

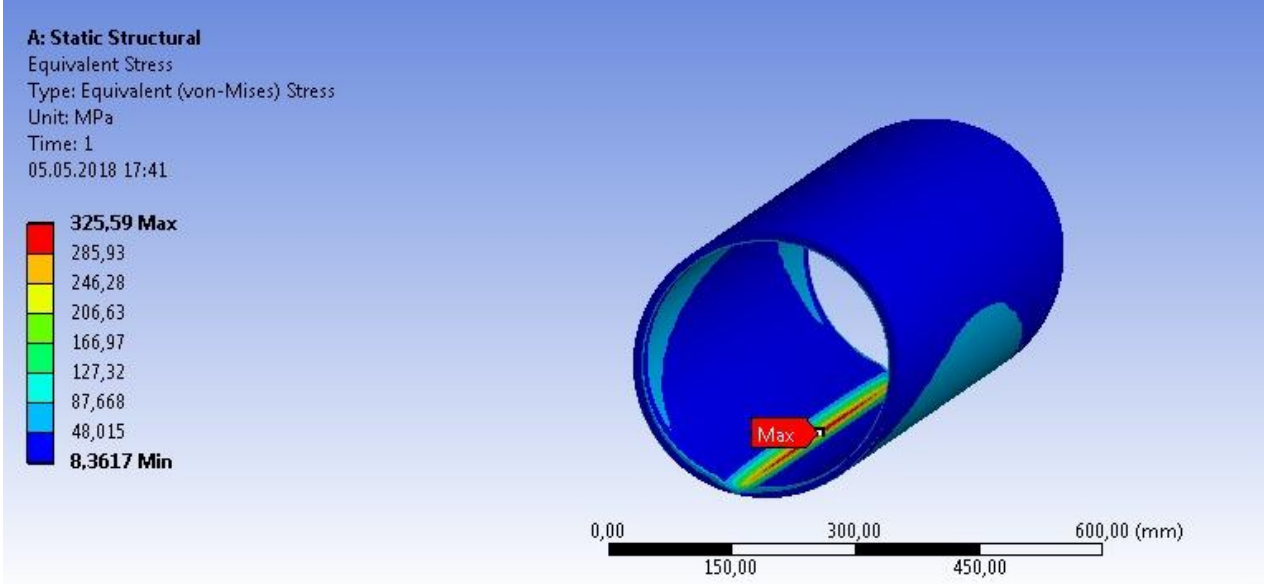



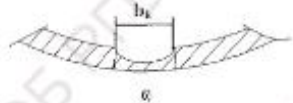
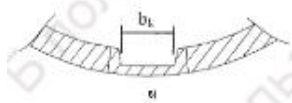
Figure 3.10 – computation results

This figure shows stress distribution in the defect area and the maximum occurred stress. The maximum occurred stress (325 MPa) is less than steel yield point (370 MPa) for grade of steel 13XΦA. Results are obtained for oval-shaped corrosion with depth of 5 mm. Despite the fact that stresses are less than the yield point of steel, it is getting close to critical value, and failure can occur in nearly future.

The same method was used for each type of the corrosion defect. Results are given in table 3.2.

						Experimental	
				Подп.			

Table 3.2 – Maximum equivalent stress (MPa) for different shapes of corrosion defects under the internal pressure $p = 4$ MPa

Shape of the groove	 Sickle-shaped			 Oval-shaped		 Dowel-shaped
Geometry	b_g , mm			b_g , mm		b_g , mm
t_g , mm	50	75	100	20	30	20
4	424.02	399.51	348.51	-	-	-
4,5	363.01	356.47	307.4	433.09	394.7	-
5	325.59	317.18	273.6	363.69	356.36	428.91
6	255.82	248.88	215.74	268.08	263.03	346.83
7	198.35	193.27	176.14	214.7	210.15	273.46
8	150.66	148.98	137.57	169.52	163.13	236.81

The dependence of maximum equivalent stress on the defect width is shown in figure 3.14.

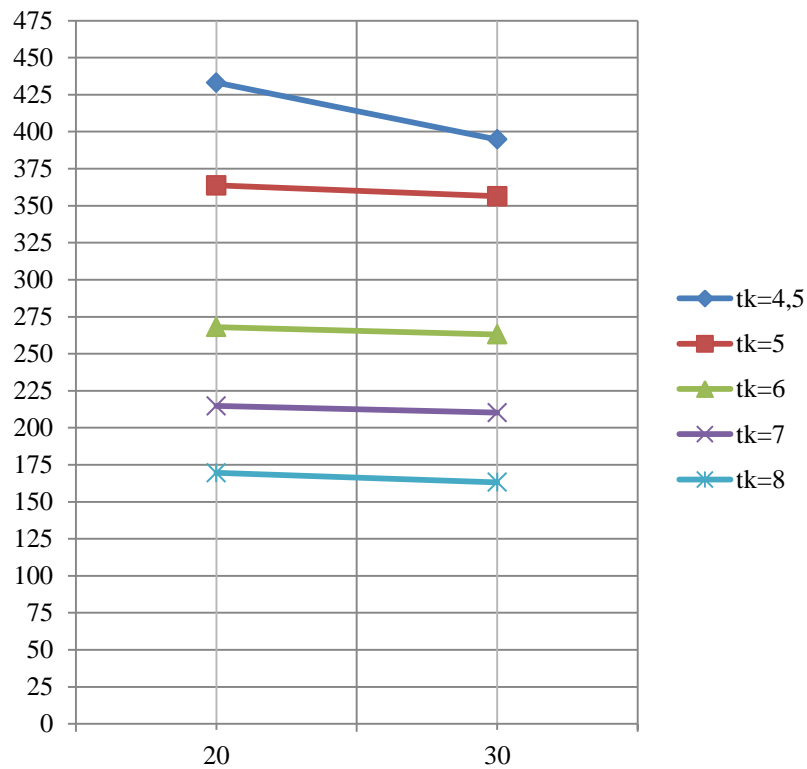


Figure 3.14 – Dependence of maximum equivalent stress on the groove depth

According to this, it can be concluded that the depth of the corrosion defect also strongly influences the stress distribution.

Dowel-shaped defect

According to Popodko [21], in this case of the corrosion defect its width has influence on its maximum equivalent stress because of its shape. Taking into account this information, the dependence of stress on the defect depth was plotted for one case. Width was equaled to 20 mm. The results of plotting are shown in the figure below.

						Experimental	

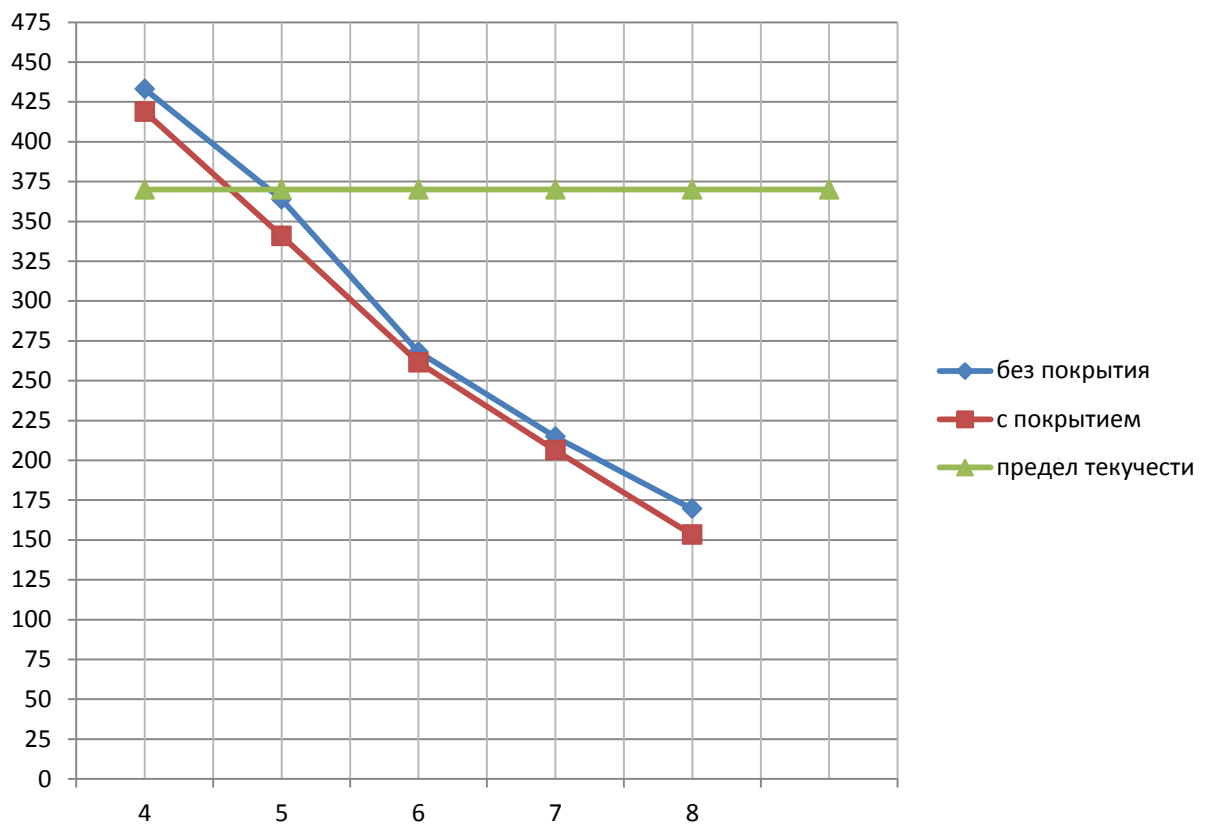


Figure 3.23 – Stress-strain distribution for oval-shaped defect with (red) and without (blue) covering

The plot indicates that for the oval-shaped defect protective layer has higher influence on maximum stress distribution than for sickle-shaped case.

						Experimental	

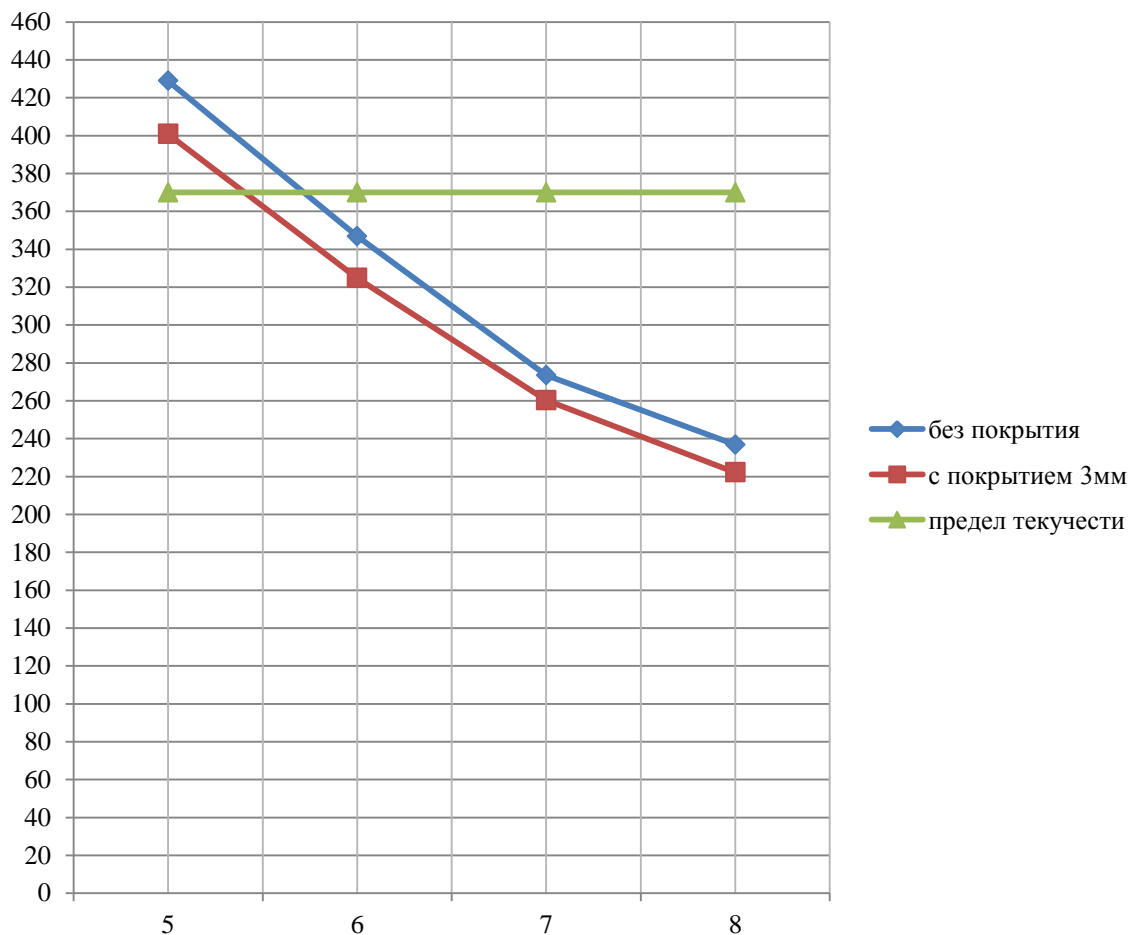


Figure 3.23 – Stress-strain distribution for dowel-shaped defect with (red) and without (blue) covering

The diagram indicates that for dowel-shaped defect protective layer has the highest influence on maximum stress distribution.

During the next experiment, the thickness of covering and its influence on maximum stress distribution was evaluated. The pipeline with the sickle-shaped defect was considered. The defect width was 50 mm. The dependences were obtained for three remain wall thickness (t_k) of the defect: 4,5 mm, 6 mm, 8 mm.

The results are shown in figure 3.24.

						Experimental	

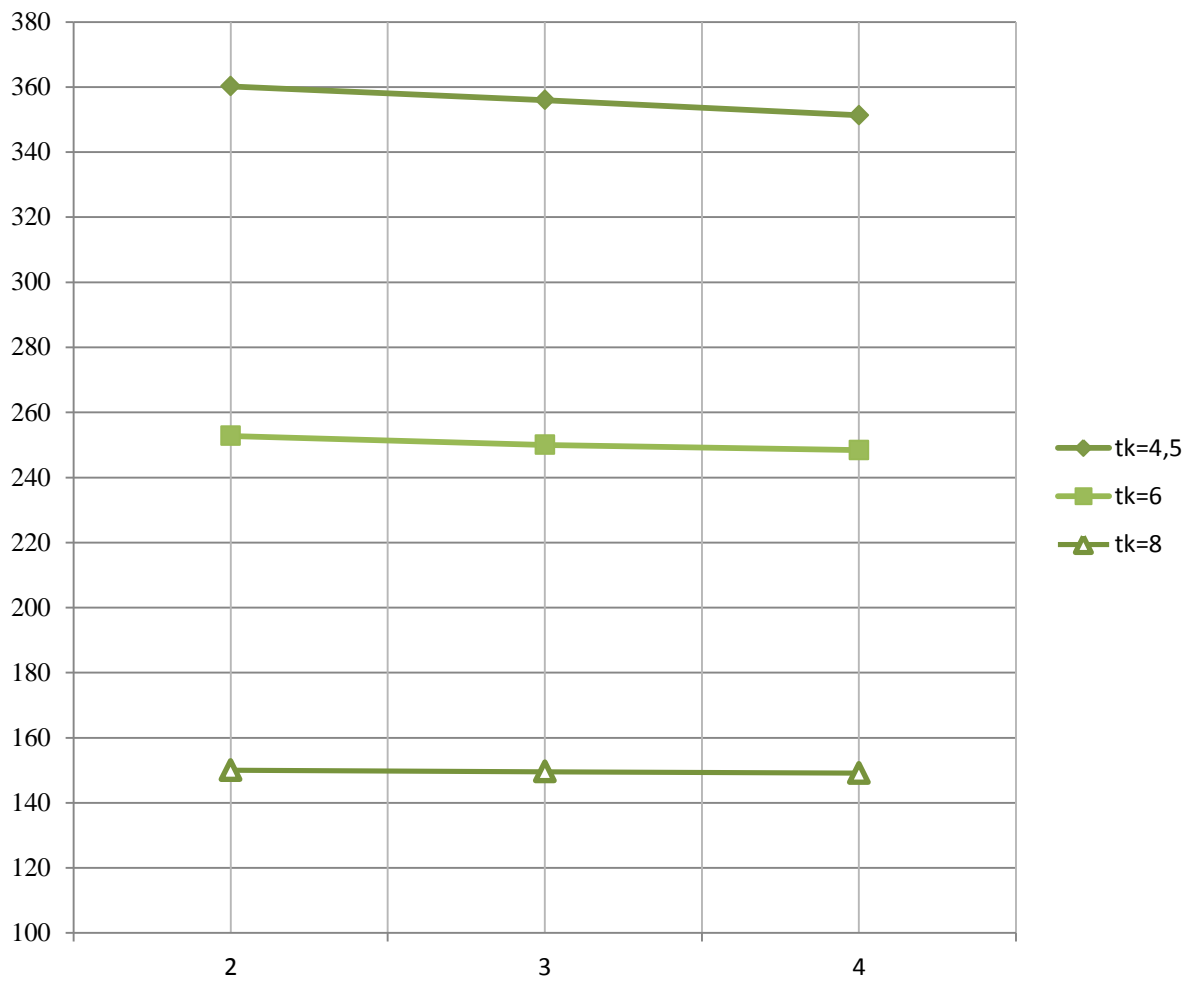


Figure 3.24 – Dependence of the stress-strain distribution for sickle-shaped defect from covering thickness

According to the results, it can be concluded that covering thickness has higher influence in case of lower values of wall thickness (higher value of the defect depth).

						Experimental	

